

REVISTA

DEL

MUSEO ARGENTINO DE CIENCIAS NATURALES «BERNARDINO RIVADAVIA»

E

INSTITUTO NACIONAL DE INVESTIGACION DE LAS CIENCIAS NATURALES

DIRECTOR: JOSE MARIA GALLARDO

Entomología

Tomo IV, n° 2

LA SUBFAMILIA «ISCHNOCOLINAE»

(ARANEAE: THERAPHOSIDAE)

POR

very cordially

BERTA S. GERSCHMAN DE PIKELIN Y RITA D. SCHIAPELLI

BUENOS AIRES

IMPRENTA CONI S.A.C.I.F.I.

684, PERÚ, 684

1973

REVISTA
DEL
MUSEO ARGENTINO DE CIENCIAS NATURALES « BERNARDINO RIVADAVIA »
E
INSTITUTO NACIONAL DE INVESTIGACION DE LAS CIENCIAS NATURALES
DIRECTOR : JOSE MARIA GALLARDO

Entomología

Tomo IV, nº 2

LA SUBFAMILIA « ISCHNOCOLINAE »

(ARANEAE : THERAPHOSIDAE)

POR BERTA S. GERSCHMAN DE PIKELIN¹ Y RITA D. SCHIAPELLI²

Las *Ischnocolinae* representan una de las cuatro subfamilias en que se divide la familia *Theraphosidae*; comprende los géneros cuyas escópulas tarsales están divididas por una línea o banda de cerdas, no teniendo otra particularidad que las distinga de las otras subfamilias, ni que las agrupe entre sí; con el agravante de que en todas las *Theraphosidae* juveniles las escópulas tarsales están divididas, pero en las *Ischnocolinae* ese carácter persiste en el adulto. A pesar de ello ha sido motivo de error y muchos ejemplares jóvenes de géneros de otras subfamilias han sido determinados como *Ischnocolinae*.

Facilita tener en cuenta los caracteres propios de las otras *Theraphosidae* y que faltan en las *Ischnocolinae*. Así por ejemplo, las *Theraphosinae*, aun juveniles cuyas escópulas están divididas, se diferencian por la presencia de una escópula aterciopelada en la cara externa del fémur IV. Las *Aviculariinae* se caracterizan por carecer de espinas en sus patas, espinas que son muy abundantes en las otras *Theraphosidae*. Las *Grammostolinae* presentan abundantes espinas en sus patas y carecen de escópula aterciopelada en la cara externa del fémur IV. Un solo género, *Grammostola* Simon 1892, presenta un ór-

¹ Miembro de la Carrera del Investigador del Consejo Nacional de Investigaciones Científicas y Técnicas, Buenos Aires. Lugar de trabajo: Museo Argentino de Ciencias Naturales "B. Rivadavia".

² Jefe de la Sección Aracnología del Museo Argentino de Ciencias Naturales "B. Rivadavia". Miembro de la Carrera del Investigador del Consejo Nacional de Investigaciones Científicas y Técnicas, Buenos Aires.

gano estridulatorio situado en la cara externa de la coxa del palpo y en la cara interna de la coxa de la pata I.

Las *Ischnocolinae* carecen de órgano estridulatorio, salvo el género *Cyrtopholis* Simon 1892 que posee cerdas estridulatorias, no en la coxa del palpo y de la pata I, sino en los trocánteres, asemejándose al género *Acanthoscurria* Ausserer 1871 (*Theraphosinae*); y como en *Acanthoscurria* el órgano puede estar solamente en el trocánter del palpo o solo en el trocánter de la pata I o en los dos artejos.

Las arañas de esta subfamilia se encuentran principalmente en la región neotropical; algunas, muy pocas, viven en la región mediterránea oriental; la mayoría son de América del Sud. Las especies de las cuales se conoce sus costumbres, viven bajo piedras o troncos; corren con gran rapidez. Son las *Theraphosidae* de menor tamaño pudiendo tener solamente 15 mm de longitud; pero algunas sobrepasan los 50 mm.

Su veneno no ha sido bien estudiado; según Vellard (1936), las glándulas son reducidas, teniendo el veneno las propiedades generales del de las arañas de la familia, pero de actividad débil. (Veneno mixto tóxico y gangrenoso, con fuerte acción curarizante. Acción tóxica sobre el hígado y riñón. Acción local: calambres y parálisis, anestesia y necrosis de intensidad variable).

No solo resulta difícil determinarlas como subfamilia, sino que lo es también llegar a los géneros. Están mal definidos; los aracnólogos que más se ocuparon de la sistemática de esas arañas fueron: Ausserer, Keyserling, Simon, Pickard-Cambridge, Pocock, Chamberlin, quienes tuvieron poco material para sus estudios los que fueron realizados en el siglo pasado y a principios de este. Hemos visto en el British Museum (N. H.) ejemplares tipos que no fueron revisados desde 1903. El último que ha estudiado el grupo en forma general fue Mello Leitão quien desde 1946 dejó de ocuparse de las *Theraphosomorphae*. Pero Mello Leitão muy pocas veces comparó el material que estudió con los ejemplares tipos, de modo que fue repitiendo los errores que cometieron sus antecesores. A pesar de ello su trabajo es útil por la recopilación bibliográfica.

Como *Theraphosidae* las *Ischnocolinae* presentan tarsos con dos uñas y fascículos ungueales, labio libre, queliceros sin rastrillo e hileras superiores con el último artejo aguzado y no más corto que el artejo medio. Llamamos la atención sobre esos caracteres porque se han incluido en la subfamilia especies que no eran *Ischnocolinae* por carecer de los mismos.

Para la separación de los géneros consideramos válidos y tenemos en cuenta los siguientes caracteres: presencia o ausencia de escófula en el metatarso IV; curvatura de la foseta torácica; disposición ocular; la genitalia y los caracteres sexuales secundarios. Hay que tener presente que en los juveniles algunos caracteres son distintos a los del

adulto: por ejemplo, el esternón es generalmente más corto y redondeado en el ejemplar joven.

A pesar de la gran confusión en la sistemática de esta subfamilia con numerosos géneros que no se pueden determinar con las descripciones publicadas, hay algunos otros, que después del estudio intensivo y comparativo de sus especies, podemos determinar con bastante exactitud y seguridad. Así el género *Cyrtopholis* Simon 1892, que es el único que posee un órgano estridulatorio en el trocánter de la pata I. El género *Homoeomma* Ausserer 1871 que tiene los cuatro ojos medios más o menos del mismo tamaño y una prolongación digitiforme en el bulbo que lo caracteriza. El género *Cyriocosmus* Simon 1903 que presenta una apófisis apical en el bulbo, lo que Simon llama "doble estilo". El género *Heterothele* Karsch 1879 con los ojos medios anteriores muchísimo más grandes que todos los demás y las hileras superiores muy largas. El género *Hapalopinus* Simon 1903 con la foseta torácica muy recurva.

Este trabajo se basa en el estudio de dieciséis géneros con treinta y seis especies, cuyos tipos hemos tenido a nuestra disposición. Esos ejemplares pertenecen a los siguientes museos: National d'Histoire Naturelle de Paris; British Museum (N. H.); Nacional de Rio de Janeiro; of Comparative Zoology, Harvard University; de Montevideo, de La Plata y Argentino de Ciencias Naturales "B. Rivadavia" en donde trabajamos.

Agradecemos la valiosa colaboración del Dr. Max Vachon y colaboradores; Dr. I. G. Scheal y Sr. D. Clark; Dr. Araujo Feio y Dra. Ana Timotheo da Costa; Dr. H. W. Levi y Dr. Mañé Garzón, el habernos facilitado el material guardado en los museos con las colecciones a su cargo.

A continuación damos la lista de todos los géneros y especies de la subfamilia; son 42 géneros (19 de ellos monotípicos) con 170 especies; de estas 115 son americanas y las 53 restantes se encuentran fuera de América: Africa, Asia, Europa, agrupadas en 9 géneros, 3 tienen especies americanas y otras que no lo son. 29 géneros son exclusivamente americanos.

Para la Argentina se han citado 6 géneros con 7 especies de las cuales salvo uno, se conocen los ejemplares machos y hembras. Son:

- Cenobiopelma argentinensis* Mello-Leitão 1941 ♂ y ♀.
- Ceropelma longisternalis* Schiapelli y Gerschman 1942 ♂ y ♀.
- Cyriocosmus versicolor* (Simon 1897) ♂ y ♀.
- Heterothele caudicola* (Simon 1887) ♀.
- Homoeomma uruguayensis* (Mello-Leitão 1946) ♂ y ♀.
- Homoeomma elegans* (Gerschman de Pikelin y Schiapelli 1952) ♂ y ♀.

En la lista, los géneros y especies que hemos visto están señalados con un asterisco. La primera especie mencionada en cada género es la Especie-tipo.

Las observaciones y conclusiones que anteceden a la lista están numeradas y los números correspondientes, entre paréntesis, figuran a la derecha de cada género.

Seguimos las listas de Bonnet y Roewer, las que se han puesto al día con los nuevos taxones publicados después de 1940 y con los cambios y sinonimias que nos permitieron establecer nuestros estudios de revisión realizados durante todo ese tiempo, siempre con la comparación de los especímenes tipos en nuestro poder.

Continuamos la lista con la llave para la diferenciación de los géneros que hemos estudiado y seguimos con la diagnosis de cada uno de ellos precedida de su bibliografía temática. Iniciamos las diagnosis con la del género *Ischnocolus* aunque no lo hemos visto, por ser el Género-tipo. Tomamos los datos dados por Simon.

En once láminas con noventa y un dibujos ilustramos los caracteres válidos. Los dibujos están hechos en cámara clara por las autoras y pasados en tinta por la dibujante Sra. S. Kahanoff para lo que nos fue otorgado un subsidio por el Consejo Nacional de Investigaciones Científicas y Técnicas. Las medidas están dadas en milímetros. Las escalas verticales que acompañan a los bulbos no indican medida sino solamente la torsión de los mismos que es diferente en las distintas especies.

OBSERVACIONES Y CONCLUSIONES

1ª Roewer coloca el género *Ancylochiros* Mello-Leitão 1920 en la subfamilia *Ischnocolinae*; pero nosotros creemos como Mello Leitão (1923) que debe incluirse dentro de las *Aviculariinae* por carecer de espinas sus patas posteriores.

2ª El género *Calopelma* Chamberlin 1917 que Bonnet y Roewer incluyen en sus listas de arañas *Ischnocolinae*, es sinónimo de *Homoeomma* Ausserer 1871, por consiguiente su Especie-tipo *Calopelma brasilianum* = *Homoeomma brasilianum* (Chamberlin 1917). En cuanto a su segunda especie, *Calopelma moreirae* Mello-Leitão 1923 = *Homoeomma brasilianum* (Chamberlin 1917). Estas nuevas combinaciones y sinonimias figuran en la revisión del género *Homoeomma* realizada por Gerschman de Pikelin y Schiapelli (1972).

3ª Mello Leitão incluye su género *Cenobiopelma* en la familia *Barychelidae*. Gerschman de Pikelin y Schiapelli lo ubican en la familia *Theraphosidae*, subfamilia *Ischnocolinae* (1972).

4ª La revisión del género *Ceropelma* (Schiapelli y Gerschman de Pikelin *Physis* 1970: 30 Nº 80) nos ha permitido, con el estudio de los tipos, establecer nuevas sinonimias y combinaciones.

5ª No incluimos en el género *Crypsidromus* Ausserer a *Crypsidromus morenii* (Holmberg 1876). Holmberg lo describió denominándola *Mygale* (*Eurypelma*) *morenii*. La descripción es incompleta; la ilustra con un dibujo de tamaño natural en el que se ve muy poco. Mello Leitão con muchas dudas, como él mismo dice, la incluye en el género *Crypsidromus* porque dice que no tiene espolones en la tibia I. Holmberg no dice nada al respecto y en el dibujo no se ve claro. Creemos que debe quedar como especie "inquirenda".

Según Simon, Ausserer bajo el nombre de *Crypsidromus* agrupó a elementos heterogéneos (Simon 1903). La Especie-tipo es *C. isabellinus* Ausserer 1871, de la que solo se describió la hembra. Simon separó las especies que según el no tenían los caracteres del género. Pero Pocock (1903) y también F. Pickard-Cambridge (1897) creyeron que era mejor substituir el género *Crypsidromus* por el de *Metriopelma* Becker 1878 al que Simon consideró sinónimo. La razón que da Pocock es que en *Metriopelma* se describió el macho, que por su genitalia es más fácil determinar, y que la hembra que describió Ausserer podría ser un ejemplar joven, por lo que no está seguro de que la división de la escópula del tarso IV represente el carácter de subfamilia o sea solamente debido a su inmadurez.

Mello Leitão (1923) hizo el problema más difícil: encontró en los alrededores de Río de Janeiro una especie de *Pamphobeteus* que corresponde enteramente a la descripción de *Crypsidromus isabellinus* Ausserer y está convencido de que esta especie es un juvenil de *Pamphobeteus*, razón por la cual sigue a Pocock y a Pickard-Cambridge substituyendo por la designación de Becker la poco precisa de Ausserer. Mello Leitão no ha visto el tipo de *C. isabellinus*, solamente se guía por la descripción, y por haber recolectado un ejemplar en la misma zona. Mello Leitão no resuelve nada, por el contrario, si lo que piensa fuera cierto, habría que establecer: *Crypsidromus* Ausserer 1871 = *Pamphobeteus* Pocock 1901. Pero en este caso, siendo anterior el nombre de *Crypsidromus*, todas las especies de *Pamphobeteus* tendrían que pasar al primero, complicándose mucho más el problema, con lo que ningún aracnólogo estuvo de acuerdo.

Hace mucho tiempo que estamos haciendo la revisión de géneros del suborden *Theraphosomorphae*. Actualmente, con la subfamilia *Ischnocolinae* comprobamos que debido a la enorme dificultad de diferenciar los géneros porque desde un principio están mal definidos, todos los aracnólogos han cometido errores. Así por ejemplo Pocock (1903) que incluye a *Trechona auronitens* Keyserling 1891 en el gé-

nero *Metriopelma*. Nosotros que vimos el tipo en el British Museum (N. H.), comprobamos que se trata de una *Pycnothelidae* familia bien diferenciada de *Theraphosidae*, por lo que *Trechona auronitens* Keyserling 1891 = *Pycnothele auronitens* (Keyserling 1891) combinación nueva que establecimos en 1970.

Además, Pocock establece que *Crypsidromus perfidus* Keyserling 1891 = *Homoeomma villosum* (Keyserling 1891) y que *Crypsidromus funestus* Keyserling 1891 = *Homoeomma villosum* (Keyserling 1891). Por el estudio de los tipos en el British Museum (N. H.) verificamos que son dos ejemplares juveniles del género *Grammostola* Simon 1892, que pertenece a otra subfamilia.

En cuanto a Mello Leitão, se equivocó cuando con el mismo criterio (sin ver los tipos, determinar material con el nombre de otro que ha sido recolectado en el mismo lugar) denominó *Grammostola familiaris* (Bertkau 1880) a *Homoeomma familiaris* Bertkau 1880 (cuya descripción el autor ilustró con el dibujo de las espermatecas, muy distintas a las del género *Grammostola*).

Con lo que decimos en esta parte de nuestras observaciones a las listas de Bonnet y Roewer, puede verse claramente la enorme dificultad que presenta poner en claro la sistemática de las *Ischnocolinae*.

6ª Del género *Cyriocosmus* Simon 1903 hemos estudiado la Especie-tipo *C. sellatus* (Simon 1889) y *C. elegans* (Simon 1889). Establecimos que *Pseudhomoeomma* Mello-Leitão 1930 = *Cyriocosmus* Simon 1903 y que *Pseudhomoeomma fasciatum* Mello-Leitão 1930 = *Cyriocosmus elegans* (Simon 1889). También que *Cyriocosmus fasciatus* Mello-Leitão 1939 = *Cyriocosmus elegans* (Simon 1889). (Schiapelli y Gerschman de Pikelin *Physis* 1973: N° 84).

7ª En los catálogos mencionados figura *Cyrtopholis lycosoides* Tullgren 1905. Ya en 1965 establecimos que *Cyrtopholis lycosoides* Tullgren 1905 es sinónima de *Acanthoscurria ferina* Simon 1892.

Como el nombre de *Cyrtosternum* que Ausserer le puso al género en 1871 está preocupado, Simon lo reemplazó por *Cyrtopholis* en 1892. Como Simon no vio el tipo de *Cyrtopholis cursor* (Ausserer 1871) Pocock (1895) duda de que el ejemplar estudiado por Simon sea con género del ejemplar tipo, porque Simon habla de un esternón muy convexo y Pocock dice que hay especies que no tienen el esternón así. Nosotros estudiamos el espécimen tipo de *C. cursor* Ausserer depositado en el British Museum (N. H.) y lo ilustramos en la T. I.: 6 y 7. También vimos el ejemplar de *Lyrosceles lineatus* Pocock 1890, especie que no ha sido publicada pero que se encuentra así determinada en la colección. Es un ejemplar de *Cyrtopholis*.

Como ya lo hemos dicho al comenzar este trabajo el género *Cyrtopholis* es uno de los pocos de la subfamilia que puede determinarse

rápidamente con cierta seguridad por presentar un órgano estridulatorio en el trocánter del bulbo y de la pata I tanto en el macho como en la hembra.

8ª En el género *Hapalopus* Ausserer 1875 hemos hecho también algunos cambios: nuevas combinaciones y sinonimias que figuran en nuestros trabajos de revisión del género *Ceropelma* Mello-Leitão 1923 (*Physis* 1970) y del género *Homoeomma* Ausserer 1871 (*Physis* 1972). Establecemos aquí que *Hapalopus pictus* Pocock 1903 = *Homoeomma pictus* (Pocock 1903) comb. nov.

9ª *Hapalotremus uruguayensis* Mello-Leitão 1946 = *Homoeomma uruguayensis* (Mello-Leitão 1946) comb. nov. (Gerschman de Pikelin y Schiapelli, *Physis* 1972 N° 82).

10ª Con respecto al género *Homoeomma* Ausserer 1871 nos remitimos a la revisión del mismo (*Physis* 1972: N° 82) en la que establecemos varias sinonimias y nuevas combinaciones que cambian mucho las listas de Roewer y de Bonnet.

11ª El género *Ischnocolus* Ausserer 1871 es el de mayor distribución geográfica y el que presenta mayor número de especies. Lamentablemente muchas de sus especies quedan "Inquirenda" o pasan a sinonimia. Las especies de Keyserling: *I. sericeus*, *I. hirsutus*, *I. parvus*, *I. gracilis*, *I. rubropilosus*, *I. pilosus*, como ya lo ha visto Pocock (1895) se han descripto sobre ejemplares juveniles indeterminables. *Ischnocolus nigriscens* Keyserling 1891 que ya había sido sinonimizada con *Homoeomma villosum* (Keyserling 1891) por Pocock, resultó ser un ejemplar juvenil del género *Grammostola* Simon 1892, perteneciente a otra subfamilia (*Physis* 1972 N° 82).

En cuanto a *Ischnocolus lucubrans* L. Koch 1874 que figura en la obra de Bonnet, Roewer, muy acertadamente pasó la especie al género *Phlogielus* Pocock 1897 por lo que *Ischnocolus lucubrans* L. Koch 1874 = *Phlogielus lucubrans* (L. Koch 1874) comb. nov.

Este cambio tiene importancia porque debido a esta especie las *Ischnocolinae* llegaban a Australia y Nueva Guinea. Como pasó a un género que no está incluido en esta subfamilia, debemos eliminar esas localidades de su mapa de distribución.

12ª Del género *Proshapalopus* Mello-Leitão 1923 hemos estudiado la Especie-tipo *P. anomalus* Mello-Leitão 1923: tiene escópula aterciopelada en la cara externa del fémur IV, por lo que no debe incluirse en la subfamilia *Ischnocolinae*.

13ª *Tmesiphantes montanus* Mello-Leitão 1923 es *Homoeomma montanus* (Mello-Leitão 1923) (*Physis* 1972: 30: N° 82).

Lista de los géneros con sus especies

Género-tipo *Ischnocolus* Ausserer 1871.

1. *Acanthopelma* F. O. Pickard-Cambridge 1897

1. *A. rufescens* F. O. Pickard-Cambridge 1897 Guatemala
Costa Rica

Biol. Centr. Amer. Aran. 2: 84. T. ii: 13 D ♂

2. *A. maculatus* Banks 1906 Bahamas
Amer. Mus. Nat. Hist. 22: 185 fig. 1-2 D

* 2. *Adranochelia* Simon 1889

- * 3. *A. rufohirta* Simon 1889 Venezuela
Ann. Soc. ent. Fr. 9 (6): 207 D ♂

Ancylochiros Mello-Leitão 1920 (1)

3. *Aphantopelma* Simon 1903

4. *A. macellum* Simon 1903 Colombia
Bull. Soc. ent. Fr. 43 D ♂

5. *A. venorum* Mello-Leitão 1936 Chile
Rev. Chilena Hist. Nat. 40: 119. T. xii: 8 D ♀

4. *Ashantia* Strand 1908

6. *A. latitorax* Strand 1908 Africa
Zool. Anz. 32 (26): 770 D ♀

5. *Butantania* Mello-Leitão 1935

7. *B. hirsuta* Mello-Leitão 1935 Brasil
Mem. Inst. Butantan 9: 350 fig. 5-8 D ♂

* *Calopelma* Chamberlin 1917 (2)

* 6. *Cenobiopelma* Mello-Leitão y Arlé 1934 (3)

8. *C. mimetica* Mello-Leitão y Arlé 1934 Brasil
Ann. Acad. Brasil. Sci. 6 (Nº 3): 125 figs. D ♀

- * 9. *C. argentinensis* Mello-Leitão 1941 Argentina
Rev. Mus. La Plata 2: 104 fig. D ♀
Rev. Soc. ent. Argentina 1973 figs. D ♂

* 7. *Ceropelma* Mello-Leitão 1923 (9)

- * 10. *C. insularis* Mello-Leitão 1923 Brasil
Rev. Mus. Paulista 13: 176 D ♂

C. i. 1971 Schiapelli y Gerschman de Pikelin
Physis 30 (Nº 80) T. i: 1-25 Rev.

- * 11. *C. flavohirtus* (Simon 1889) Brasil
Hapalopus flavohirtus Simon 1889
Ann. Soc. ent. Fr. 9 (6): 219 D ♂

- * 12. *C. longisternalis* Schiapelli y Gerschman de Pikelin 1942 Argentina
An. Mus. Arg. Cien. Nat. 40: 517 D ♂
Physis 1971: 30 (80): 225 T. ii D ♀

- * 13. *C. semiaurantiacum* (Simon 1897) Paraguay
Cyclosternum semiaurantiacum Simon 1897
Boll. Mus. Zool. Anat. comp. Torino 11 (270): 4 D ♀ y ♂

8. *Cratorrhagus* Simon 1892

14. *C. concolor* (Simon 1873) Siria
Nemesia concolor Simon 1873

Mem. Soc. roy. Sci. Liège 5 (2): 215 D ♂ y ♀

15. *C. tetramerus* (Simon 1873) Siria
Avicularia tetramera Simon 1873

Mem. Soc. roy. Sci. Liège 5 (2): 201 D ♂ y ♀

* 9. *Cryptsidromus* Ausserer 1871 (5)

16. *C. isabellinus* Ausserer 1871 Brasil
Verh. zool. bot. Ges. Wien 21: 194 D ♀

17. *C. bolivianus* Simon 1892 Bolivia
Ann. Soc. ent. Fr. 11: 278 D ♂

18. *C. breyeri* (Becker 1878) Méjico
Sericopelma breyeri Becker 1878
Ann. Soc. ent. Belg. 221: 77 t. ii: 1

- * 19. *C. fallax* Bertkau 1880 Brasil
Mem. Cour. Acad. Belg. 93: 27 T. I: 8 D ♂

- * 20. *C. familiaris* Simon 1889 Venezuela
Ann. Soc. ent. Fr. 9 (6): 211 D ♂

21. *C. morosus* (Banks 1909) Costa Rica
Metriopelma morosus Banks 1909
Acad. Nac. Sci. Philad. 196 t. v: 16 D ♂

22. *C. pantherina* (Keyserling 1891) Brasil
Trechona pantherina Keyserling 1891
Spinnen Amerikas Brasil, Spinnen 3: 18 D ♀

23. *C. sternalis* (Mello-Leitão 1923) Brasil
Metriopelma sternalis Mello-Leitão 1923
Rev. Mus. Paulista 13: 13 D ♂

- * 24. *C. tetricus* Simon 1889 Venezuela
Ann. Soc. ent. Fr. 9 (6): 212 D ♂

25. *C. trinitatus* (Pocock 1903) I. Trinidad
Metriopelma trinitatus Pocock 1903
Ann. Mag. Nat. Hist. 11 (7): 114 D ♂

- * 26. *C. velox* (Pocock 1903) Ecuador
Metriopelma velox Pocock 1903
Ann. Mag. Nat. Hist. 11 (7): 113 D ♂

27. *C. zebratus* (Banks 1909) Costa Rica
Metriopelma zebratus Banks 1909
Proc. Acad. Nat. Sci. Philad. LXI: 195. T. v: 3 D ♂

* 10. *Cyclosternum* Ausserer 1871

- * 28. *C. schmardae* Ausserer 1871 Ecuador, Brasil
Verh. zool. bot. Ges. Wien 21: 192 D ♀

29. *C. gaujoni* Simon 1888 Ecuador
Act. Soc. Linn. Bord. 42: 493 D ♀

30. *C. ischnocoliforme* Franganillo 1935 Cuba
Belen Habana Cuba 9: 43 fig. 1 D ♀

31. *C. majum* Franganillo 1935 Cuba
Belen Habana Cuba 9: 44 D ♀

32. *C. obscurus* Simon 1890 Méjico
Act. Soc. Linn. Bord. 44: 331 D ♀

11. *Cyclothoracoides* Strand 1929

33. *Cyclothoracoides cyclotorax* (Mello-Leitão 1923) Brasil
Rev. Mus. Paulista 13: 13 D ♂

*12. *Cyriocosmus* Simon 1903 (6)

- * 34. *C. sellatus* (Simon 1889) Brasil
Hapalopus sellatus Simon 1889
Ann. Soc. ent. Fr. 9 (6): 218 D ♂ y ♀
- * 35. *C. elegans* (Simon 1889) Venezuela, Brasil, Bolivia
Hapalopus elegans Simon 1889
Ann. Soc. ent. Fr. 9 (6): 210 D ♂
- C. e. Schiapelli y Gerschman de Pikelin 1973*
Physis Nº 84 figs. ♂ y ♀ Syn.
36. *C. nigri-ventris* Mello-Leitão 1939 Venezuela
Rev. suisse Zool. 61 (2): 44 fig. 2 D ♀
- * 37. *C. versicolor* (Simon 1897) Paraguay, Brasil, Argentina
Cyclosternum versicolor Simon 1897
Boll. Mus. Zool. Anat. comp. Torino 12 (270): 3 D ♂ y ♀
- C. v. Schiapelli y Gerschman de Pikelin 1973*
Physis Nº 84 ♂ y ♀ Syn.

*13. *Cyrtopholis* Simon 1892 (7)

- * 38. *C. cursor* (Ausserer 1875) Santo Domingo
Cyrtosternum cursor Ausserer 1875
Verh. zool. bot. Ges. Wien 25: 126 D ♀
39. *C. agilis* Pocock 1908 Santo Domingo
Ann. Mag. Nat. Hist. 11 (7): 97 D ♂
40. *C. anacantus* Franganillo 1936 Cuba
Arach. Cuba 26 D ♀
41. *C. angustatus* Kraus 1956 San Salvador
Abh. senckenb. naturf. Ges. 93: 9 T. i D ♀ y ♂
42. *C. annectens* Chamberlin 1917 Barbados
Bull. Mus. Zool. comp. Harvard 61 (3): 40 T. iii: 1-2 D ♂ y ♀
43. *C. bartholomei* (Latreille 1832) Antillas
Mygale bartholomei 1832
Nouv. Ann. Mus. Hist. Nat. 1: 61 D
44. *C. bonhotei* (F. Pickard-Cambridge 1901) Bahamas
Lyroscelus bonhotei F. Pickard-Cambridge 1901
Ann. Mag. Nat. Hist. 7 (7): 324 T. vii: 6 D ♂
45. *C. debilis* Franganillo 1931 Cuba
Belen Habana Cuba 8: 170 fig. 10
46. *C. femoralis* Pocock 1903 Antillas
Ann. Mag. Nat. Hist. 11 (7): 96 D ♂
47. *C. gibbosus* Franganillo 1936 Cuba
Mem. Soc. Cuba Hist. Nat. 9: 259 fig. 1-5 D ♂
48. *C. innocus* (Ausserer 1871) Cuba
Crypsidromus innocus Ausserer 1871
Verh. zool. bot. Ges. Wien 21: 194 D ♀
49. *C. jamaicola* Strand 1908 Jamaica
Zool. Anz. 32 (25): 769 D ♀

50. *C. longistylus* Kraus 1955 San Salvador
Abh. senckenb. naturf. Ges. 493: 3 T. i: 3-5 D ♂ y ♀
51. *C. medii* Chamberlin 1917 Antillas
Bull. Mus. Zool. comp. Harvard 61: (3): 37 T. ii: 4-6 D ♂ y ♀
52. *C. meridionalis* (Keyserling 1891) Brasil
Cyrtosternum meridionalis Keyserling
Spinnen Amerikas Brasil. Sp. III: 6 D
- * 53. *C. palmarum* Vellard, Schiapelli y Gerschman 1946 Brasil
Acta Zool. Lilloana 3: 182 T. ix D ♂
54. *C. pernix* (Ausserer 1875) Méjico
Crypsidromus pernix Ausserer 1875
Verh. zool. bot. Ges. Wien 25: 178 T. vi: 22-23 D ♂
55. *C. plumosa* Franganillo 1931 Cuba
Belen Habana Cuba 8: 171 D ♂
56. *C. portoricensis* Chamberlin 1917 Puerto Rico
Bull. Mus. Zool. comp. Harvard 61: 39 T. ii: 7 D ♂
57. *C. respinus* Franganillo 1935 Cuba
Belen Habana Cuba 9: 45 D
58. *C. schusteri* Kraus 1955 San Salvador
Abh. senckenb. naturf. Ges. 493: 10 T. i: 9-11 D ♂ y ♀
59. *C. sergi* Strand 1907 Guatemala
Jahresh. Ver. Naturk. Wurt. 113: 26 D ♀
60. *C. unispina* Franganillo 1936 Cuba
Arachn. Cuba 7 D
61. *C. zorodes* Mello-Leitão 1923 Brasil
Rev. Mus. Paulista 13: 143 D ♀

14. *Chaetopelma* Ausserer 1871

62. *Ch. olivaceum* (C. L. Koch 1842) Chipre, Siria, Palestina,
Egipto, Africa
Mygale olivacea C. L. Koch 1842
Die Arachniden 9: 34 fig. 712 D ♀
63. *Ch. adenense* Simon 1890 Arabia
Ann. Soc. ent. Fr. 10 (6): 83 D ♀
64. *Ch. gardineri* Hirst 1911 Africa
Trans. Linn. Soc. Lond. 14 (3): 383 fig. 1 D ♂ y ♀
65. *Ch. aegyptiacum* Dol. in Ausserer 1871 Egipto, Siria
Verh. zool. bot. Ges. Wien 21: 191 D ♂ y ♀
66. *Ch. longipes* Ausserer 1875 Venezuela
Verh. zool. bot. Ges. Wien 25: 174 T. vi: 20-21

*15. *Chaetorhombus* Ausserer 1871

67. *Ch. kochii* Ausserer 1871 Venezuela
Verh. zool. bot. Ges. Wien 21: 196 D ♀
- * 68. *Ch. bicolor* Vellard, Schiapelli y Gerschman 1945 Brasil
Acta Zool. Lilloana 3: 180 T. vii D ♀
69. *Ch. garbei* Mello-Leitão 1923 Brasil
Rev. Mus. Paulista 13: 134 D ♀
- * 70. *Ch. longipes* Vellard, Schiapelli y Gerschman 1945 Venezuela
Acta Zool. Lilloana 3: 178 T. vi D ♀

16. *Drytopelma* Simon 1889

71. *D. janthinus* Simon 1889 Ecuador
Act. Soc. linn. Bord. 42: 402 D ♂

17. *Drytopelmides* Strand 1907

72. *D. ludwigi* Strand 1907 Venezuela
Jahresch. Ver. Naturk. Wurt. 663: 10 D ♂ y ♀

18. *Euphrictus* Horst 1908

73. *E. spinosus* Horst 1908 Africa
Ann. Mag. Nat. Hist. 8 (2): 404 fig. 1-5 D ♂

*19. *Hapalopinus* Simon 1903

- * 74. *H. cubanus* Simon 1903 Cuba
Hist. Nat. Ar. 2: 930 fig. 1085 D ♂

*20. *Hapalopus* Ausserer 1875 (8)

- * 75. *H. formosus* Ausserer 1875 Colombia
Verh. zool. bot. Ges. Wien 25: T. vi: 17-18 D ♂
76. *H. incei* F. O. Pickard-Cambridge 1898 I. Trinidad
Proc. Zool. Soc. Lond. 894 T. liv: 8-10-12 D ♂ y ♀
77. *H. nondescriptus* Mello-Leitão 1926 Brasil
Rev. Mus. Paulista 14: 319 fig. 7-8 D ♂
* 78. *H. pentatoris* (Simon 1888) América Central
Cryptidromus pentatoris Simon 1888
Ann. Soc. ent. Fr. 8 (6): 216 D ♀
* *Hapalopus pictus* Pocock 1903 (8)
79. *H. rectimanus* Mello-Leitão 1923 Brasil
Rev. Mus. Paulista 13:

*21. *Hapalotremus* Simon 1903 (9)

- * 80. *H. albipes* Simon 1903 Bolivia
Hist. Nat. Ar. 2: 930 fig. 1083 D ♂

22. *Harpaxictis* Simon 1892

81. *H. striatus* (Ausserer 1871) Venezuela
Harpaxibius striatus Ausserer 1871
Verh. zool. bot. Ges. Wien 21: 195 D ♀

23. *Hemiercus* Simon 1903

82. *H. inflatus* (Simon 1889) Venezuela
Hapalopus inflatus Simon 1889
Ann. Soc. ent. Fr. 9 (6): 209 D ♂
83. *H. cervinus* (Simon 1889) Venezuela
Hapalopus cervinus Simon 1889
Ann. Soc. ent. Fr. 9 (6): 209 D ♂
84. *H. modestus* (Simon 1889) Colombia
Hapalopus modestus Simon 1889
Ann. Soc. ent. Fr. 9 (6): 218 D ♂
85. *H. proximus* Mello-Leitão 1923 Brasil
Rev. Mus. Paulista 13: 155 D ♀

24. *Hemirrhagus* Simon 1903

86. *H. cervinus* (Simon 1891) Méjico
Cratorrhagus cervinus Simon 1891
Acta Soc. linn. Bord. 44: 330 D ♀
87. *H. major* Chamberlin 1916 Perú
Bull. Mus. Zool. comp. Harvard 60: 196 T. vii: 8 D ♀ y ♂
88. *H. peruvianus* Chamberlin 1916 Perú
Bull. Mus. Zool. comp. Harvard 60: 196 T. vii

25. *Heterophrichtus* Pocock 1900

89. *H. milloti* Pocock 1900 India
Faun. Brit. Ind. Arachn. 180 D

*26. *Heterothela* Karsch 1879

90. *H. honesta* Karsch 1879 Congo
S. B. Ges. Naturf. Fr. Berlin 4: 65 D ♂ y ♀
* 91. *H. caudicula* (Simon 1897) Argentina, Patagonia
Mitura caudicula Simon 1897
Bull. Soc. zool. Fr. 11: 575 D ♀
92. *H. decemnotata* (Simon 1891) Congo
Solenothela decemnotata Simon 1891
Ann. Soc. ent. Fr. 60: 298 D ♀
* 93. *H. gabonensis* (Lucas 1858) Africa
Arch. Ent. 2: 382 T. xlii: 1 D ♂
94. *H. spinipes* Pocock 1897 Africa
Proc. Zool. Soc. Lond.: 737 T. xli: 6 D ♂
95. *H. villosella* Strand 1907 Africa
Zool. Anz. 31: 552 D ♂

*27. *Homoeomma* Ausserer 1871 (10)

- * 96. *H. stradlingi* F. O. Pickard-Cambridge 1831 Brasil
Proc. Zool. Soc. Lond.: 633 T. lx: 1-7 D ♂ y ♀
* 97. *H. brasilianum* (Chamberlin 1917) Brasil
Calopelma brasiliana Chamberlin 1917
Bull. Mus. Zool. comp. Harvard 61: 42 T. iii: 3-4 D ♂
* 98. *H. elegans* (Gerschman de Pikelin y Schiapelli 1958) Argentina
Tmesiphantes elegans Gerschman de Pikelin y Schiapelli 1958
Rev. Soc. ent. Argentina 20: 3 fig. 6-10 D ♂
* 99. *H. familiaris* Bertkau 1880 Brasil
Mem. cour. Acad. Belg. 63: 37 T. i: 11 D ♂
100. *H. humilis* Vellard 1924 Brasil
Arch. Inst. Viat. Brazil 2: 160 fig. 17 D ♂
* 101. *H. montanus* (Mello-Leitão 1923) Brasil
Tmesiphantes montanus Mello-Leitão 1923
Rev. Mus. Paulista 13: 139 fig. 48-50
102. *H. simoni* Soares y Camargo 1948 Brasil
Bol. Mus. Paraense E. Göldi 10: 405 fig. 81-85 D ♂
* 103. *H. strabo* (Simon 1892) Colombia, Brasil
Agathostola strabo Simon 1892
Hist. Nat. Ar. 1: 163 D ♂

- *104. *H. villosum* Keyserling 1891 Brasil
Spinnen Amerikas Brasil. Sp. 3: 7 T. i: 2 D
- *105. *H. uruguayensis* (Mello-Leitão 1946) Uruguay y Argentina
Haplotremus uruguayensis Mello-Leitão 1946
Com. zool. Mus. Hist. Nat. Montevideo Nº 35: 7 fig. 10-11 D ♂
28. *Ischnocoella* Strand 1907
106. *I. denffti* Strand 1907 Saipan
Jahresh. Ver. Nat. Wurt. 63: 14 D ♀
- *29. *Ischnocolus* Ausserer 1871 (11)
107. *I. holosericeus* Ausserer 1871 España
Verh. zool. bot. Ges. Wien 21: 180 D ♂
108. *I. algericus* Thorell 1875 Algeria
Svensk. Vet. Al. Handl. 13 (5): 123 D ♂
109. *I. alticeps* Keyserling 1877 Uruguay
Verh. zool. bot. Ges. Wien 17: 609 D ♀
110. *I. andalusiacus* (Simon 1873) España
Avicularia andalusiacus Simon 1873
Mem. Soc. roy. Sci. Liège 5 (2): 197 T. i: 2
111. *I. aper* Simon 1891 Java
Ann. Soc. ent. Fr. 60: 308 D ♂
112. *I. brevipes* Thorell 1897 Birmania
Ann. Mus. civ. stor. nat. Genova 17 (2): 170
113. *I. culebrensis* Petrunkevitch 1929 Puerto Rico
Trans. Connect. Acad. Sci. 30: 20 D ♀
114. *I. denticulatus* Franganillo 1930 Cuba
Arachn. de Cuba: 21 fig. 4 D ♀
115. *I. doleschalli* Ausserer 1871 Brasil
Verh. zool. bot. Ges. Wien 31: 181
116. *I. fusciculatus* Strand 1906 Abisinia
Zool. Anz. 30: 606 D ♀
117. *I. fuscotriatus* Simon 1885 Algeria
Explor. Sci. Tunis. Arachn. 41 D ♂
118. *I. gracilis* Ausserer 1871 Chipre
Verh. zool. bot. Ges. Wien 31: 187 D ♂
119. *I. insularis* Simon 1877 Filipinas
Ann. Soc. ent. Fr. 7 (5): 91
120. *I. jickelli* L. Koch 1875 Abisinia
Aegypt. Abyssin. Arachn. Juckeli 58 T. vi: 2 D ♀
121. *I. maroccanus* (Simon 1873) Algeria
Avicularia marocana Simon 1873
Mem. Soc. roy. Sci. Liège 5 (2): 15 D ♂ y ♀
122. *I. mogadorensis* Simon 1909 Marruecos
Mem. Soc. Esp. Hist. Nat. 61 (1): 10
123. *I. nebulosus* Rainbow 1899 Sta. Cruz O. Pacifico
Proc. linn. Soc. N.S.W. 24: 305
124. *I. numidus* Simon 1909 Algeria
Mem. Soc. esp. Hist. Nat. 6 (1): 9
125. *I. obscurus* Ausserer 1875 Colombia
Verh. zool. bot. Ges. Wien 25: 169 T. vi: 19 D ♂

126. *I. ornatus* Thorell 1897 Birmania
Ann. Mus. civ. stor. nat. Genova 17 (2): 173
127. *I. schoemakeri* Petrunkevitch 1926 Costa Rica
Trans. Connect. Acad. Sci. 28: 36 fig. 2-3 D ♀
128. *I. syriacus* Ausserer 1871 Siria
Verh. zool. bot. Ges. Wien 21: 189 D ♀
129. *I. tomentosus* Thorell 1899 Africa
Bih. Svenska Vet. Ak. Handl. 25: 9 D ♀
130. *I. triangulifer* Ausserer 1871 Sicilia
Verh. zool. bot. Ges. Wien 21: 186 D ♂
131. *I. tripolitanus* Caporiacco 1937 Tripoli
Monit. Zool. ital. 48: 57 D ♀
132. *I. tunetanus* Pavesi 1820 Túnez
Ann. Mus. Civ. Genova 15: 362 D ♂
133. *I. valentinus* (Dufour 1820) España, Portugal
Mygale valentina Dufour 1820
Ann. Gen. Sci. Phys. 5: 101 T. xxiii: 1-2 D ♂
- *30. *Magulla* Simon 1892
- *134. *Magulla obesa* Simon 1892 Brasil
Ann. Soc. ent. Fr. (6) 61: 276 D ♀
- *135. *Magulla janeira* (Keyserling 1891) Brasil
Ischnocolus janeirus Keyserling 1891
Spinnen Amerikas Brasil. Sp. 3: 13 D ♀
136. *Magulla symmetrica* Bücherl 1949 Brasil
Mem. Inst. Butantan 21: 261 ♀
Mem. Inst. Butantan 22: 1 D ♂
- *31. *Melloleitnoina* Gerschman de Pikelin y Schiapelli 1959
- *137. *M. crassifemur* Gerschman de Pikelin y Schiapelli 1959 .. Argentina
Physis 21 (Nº 61): 200 fig. 1-3 D ♂
32. *Neischnocolus* Petrunkevitch 1925
198. *N. panamanus* Petrunkevitch 1925 Panamá
Trans. Connect. Ac. Sci. 27: 35 D ♀
33. *Nosiergus* Simon 1903
139. *N. insulanus* Simon 1903 Isla Seychelles, O. Indico
Hist. Nat. Ar. 2: 929 D ♀
34. *Oligoxistro* Vellard 1924
140. *O. auratus* Vellard 1924 Brasil
Arch. Inst. Vital Brazil II: 152 T. ix: 38 D ♂
35. *Ozopactus* Simon 1889
141. *O. ernsti* Simon 1889 Venezuela
Ann. Soc. ent. Fr. 11 (6): 212 D ♀
36. *Phlogiodes* Pocock 1899
142. *Ph. validus* Pocock 1899 Dek n
Journ. Bombay Nat. Hist. Soc. 12: 748 D ♀
143. *Ph. robustus* Pocock 1899
Journ. Bombay Nat. Hist. Soc. XII: 748 D ♀

37. *Plesiophrictus* Pocock 1899

144. *P. millardi* Pocock 1899 Dekan
Journ. Bombay Nat. Hist. Soc. 12: 749 D ♂
145. *P. bhoi* Gravely 1935 India
Rec. Ind. Mus. Calcutta 37: 76 D ♂ y ♀
147. *P. collinus* Pocock 1899 India
Journ. Bombay Nat. Hist. Soc. 12: 749 D ♀
148. *P. fabrei* (Simon 1892) India
Ann. Soc. ent. Fr. 61: 278 D ♀
149. *P. lineatus* (Simon 1891) India
Ann. Soc. ent. Fr. 60: 308 D ♀
150. *P. madraspatanus* Gravely 1935 India
Rev. Ind. Mus. Calcutta 37 (1): 77 T. xv: 3 D ♂ y ♀
151. *P. radja* Gravely 1915 India
Rev. Ind. Mus. Calcutta 37: 77 fig. 2 D ♂ y ♀
152. *P. satarensis* Gravely 1915 India
Rev. Ind. Mus. Calcutta 11: 274 T. xv: 3 D ♂ y ♀
153. *P. sericeus* Pocock 1900 India
Faun. Brit. Ind. Arachn.: 132 D ♀
154. *P. tenuipes* Pocock 1899 Ceylán
Journ. Bombay Nat. Hist. Soc. 12: 749 D ♀

* *Proshapalopus* Mello-Leitão 1923 (12)

* *Pseudhomoeomma* Mello-Leitão 1930 (6)

38. *Schizopelma* F. O. Pickard-Cambridge 1897

155. *S. bicarinatus* F. O. Pickard-Cambridge 1897 Costa Rica
Biol. Centr. Amer. Aran. 2: 28 T. ii: 11 D ♂ y ♀
156. *S. macropus* (Ausserer 1875) Méjico
Crypsidromus macropus Ausserer 1875
Verh. zool. bot. Ges. Wien 25: 170 T. vi: 24-25 D ♂ y ♀

39. *Scopelobates* Simon 1903

157. *S. sericeus* Simon 1903 Haití
Hist. Nat. Ar. 2: 928 D ♀

40. *Selenogyrtus* Pocock 1897

158. *S. coerules* Pocock 1897 Africa
Proc. Zool. Soc. London: 768 D ♀
159. *S. africanus* (Simon 1887) Africa
Hapalopus africanus Simon 1887
Ann. Soc. ent. Fr. 7 (6): 275 D ♀
160. *S. aureus* Pocock 1897 Africa
Proc. Zool. Soc. Lond.: 768 T. xli: 2 D ♂
161. *S. brunneus* Strand 1907 Africa
Zool. Anz. 31: 552 D ♀

41. *Stichoplastus* Simon 1839

162. *S. ravidus* Simon 1889 Venezuela
Ann. Soc. ent. Fr. 9 (6): 208 D ♂ y ♀
163. *S. culebrae* Petrunkevitch 1929 Puerto Rico
Trans. Connect. Ac. Sci. 30: 43 fig. 25-27 D ♀

164. *S. obsoletus* Franganillo 1935 Cuba
Belen Habana Cuba 9: 24
165. *S. sanguineus* F. O. Pickard-Cambridge 1898 I. Trinidad
Proc. Zool. Soc. Lond.: 395 D ♀
166. *S. spinolosus* (F. Pickard-Cambridge 1897) Guatemala
Metriopelma spinolosum F. Pickard-Cambridge 1897
Biol. Centr. Amer. Aran. 2: 33 T. ii: 12 D ♂

*42. *Tmesiphantes* Simon 1892 (13)

- *167. *T. nubilus* Simon 1892 Brasil
Ann. Soc. ent. Fr. 61: 277 D ♂ y ♀
168. *T. chickeringi* Caporiacco 1955 Venezuela
Acta Biol. Venezuela 1: 278
169. *T. minensis* Mello-Leitão 1943 Brasil
An. Acad. Brasil. Cien. 15: 237 D ♂
170. *T. physopus* Mello-Leitão 1926 Brasil
Rev. Mus. Paulista 14: 318 fig. 6 D ♂

Llave para la diferenciación de géneros

Machos

1. Trocánter I con cerdas estridulatorias *Cyrtopholis* Simon 1892
- Trocánter I sin cerdas estridulatorias 2
2. Bulbo con una apófisis apical que acompaña al estilo (Lám. III: 16 y 17)
Cyriocosmus Simon 1903
- Bulbo sin la apófisis apical 3
3. Metatarso IV sin escópula 4
- Metatarso IV con escópula 9
4. Ojos medios anteriores y ojos medios posteriores más o menos del mismo tamaño. Bulbo con una apófisis basal digitiforme (Lám. IV: 27 y 28)
Homoeomma Ausserer 1871
- Ojos medios anteriores mayores que los medios posteriores 5
5. Ojos medios anteriores mayores que los laterales anteriores. Hilas superiores largas, casi como el abdomen. Pata I con la tibia sin espolones (Lám. II) *Heterothela* Karsch 1879
- Ojos medios anteriores menores que los laterales anteriores 6
6. Labio mucho más alto que ancho *Cenobiopelma* Mello-Leitão y Arlé 1934
- Labio subcuadrado, apenas más ancho 7
7. Foseta muy procurva, semicircular; sigillas posteriores a igual distancia del margen que de la línea media del esternón *Tmesiphantes* Simon 1892
- Foseta apenas procurva; sigillas marginales 8
8. Tibia I con dos espolones; fémur III muy ensanchado (Lám. IV) *Melloleitaoina* Gerschman de Pikelin y Schiapelli 1959
- Tibia I sin espolones; fémur III normal (Lám. VII) *Crypsidromus* Ausserer 1871
9. Foseta torácica recurva (Lám. VIII) *Hapalopinus* Simon 1903
- Foseta torácica recta o procurva 10
10. Espolones de la tibia I más o menos iguales 11

- Los dos espolones muy desiguales 12
- 11. Esternón corto, redondeado, convexo. Metatarso I cierra por fuera del espolón externo (Lámina IX) *Cyclosternum* Ausserer 1871
- Esternón alargado; metatarso I cierra entre los dos espolones (Lám. X) *Hapalopus* Ausserer 1871
- 12. Los dos espolones en un proceso apical de la tibia. Metatarso I muy curvo en la base se apoya al cerrar en la apófisis mayor. Bulbo con estilo largo, grueso y muy curvo (Lám. VIII) *Hapalotremus* Simon 1903
- Los espolones no se encuentran en un proceso apical de la tibia I 13
- 13. Los dos espolones unidos en su base. El metatarso I cierra entre los dos espolones. Esternón ovalado (Lám. XI) *Ceropelma* Mello-Leitão 1923
- Espolones separados desde su base. Esternón redondeado (Lám. IX) *Adranochelia* Simon 1889

Hembras

- 1. Trocánter I con cerdas estridulatorias *Cyrtopholis* Simon 1892
- Trocánter I sin cerdas estridulatorias 2
- 2. Metatarso IV sin escópula 3
- Metatarso IV con escópula 8
- 3. Ojos medios anteriores y medios posteriores más o menos de igual tamaño. Espermatecas como en la fig. 31 *Homoeomma* Ausserer 1871
- Ojos medios anteriores mayores que los medios posteriores 4
- 4. Ojos medios anteriores mucho mayores que los laterales anteriores. Hilas superiores muy largas. Espermatecas como en fig. 12 *Heterothela* Karsch 1879
- Ojos medios anteriores menores que los laterales anteriores 5
- 5. Labio mucho más ancho que alto. Espermatecas como en la fig. 38 *Cenobiopelma* Mello-Leitão y Arle 1934
- Labio subcuadrado, apenas más ancho 6
- 6. Foseta torácica muy procurva, semicircular. Sigillas posteriores a igual distancia del margen que de la línea media del esternón. Espermatecas como en la figura 45 *Tmesiphantes* Simon 1892
- Foseta apenas procurva, sigillas submarginales 7
- 7. Fémur III menos engrosado que en el macho. Espermatecas como en la fig. 50 *Melloleitaina* Gerschman de Pikelin y Schiapelli 1959
- Fémur III normal, espermatecas como en la fig. 57 *Crypsidromus* Ausserer 1871
- 8. Foseta torácica recurva 9
- Foseta torácica recta o procurva 10
- 9. Fila ocular anterior muy procurva; ojos medios posteriores menores que los medios anteriores *Hapalopinus* Simon 1903
- Fila ocular anterior recta o apenas procurva. Espermatecas como en la fig. 76 *Chaetorhombus* Ausserer 1871
- 10. Tarsos anteriores con las escópulas no divididas. Espermatecas como en la fig. 22 *Cyriocosmus* Simon 1903
- Tarsos anteriores con las escópulas divididas 11
- 11. Esternón corto, redondeado, convexo 12
- Esternón alargado 13
- 12. Esternón más ancho que largo; espermatecas como en la fig. 14. Banda divisoria de la escópula del tarso IV muy ancha *Magulla* Simon 1892

- Esternón no más ancho que largo; banda divisoria de la escópula del tarso IV no ocupa todo el ancho del artejo. Espermatecas como en la fig. 73 .. *Cyclosternum* Ausserer 1871
- 13. Espermatecas como en la fig. 84 *Hapalopus* Ausserer 1875
- Espermatecas como en la fig. 91 *Ceropelma* Mello-Leitão 1923

DIAGNOSIS DE LOS GENEROS DE LA SUBFAMILIA "ISCHNOCOLINAE" QUE HAN SIDO ESTUDIADOS COMPARADOS CON LOS TIPOS

Gén. *ISCHNOCOLUS* Ausserer 1871

- 1871. *Ischnocolus* Ausserer, *Verh. zool. bot. Ges. Wien* 21: 137 T. i D gen. nov.
- 1875. *Ischnocolus* Ausserer, *Verh. zool. bot. Ges. Wien* 25: 168 D y Cl
- 1892. *Ischnocolus* Simon, *Hist. Nat. Ar.* 1: 70; 131 y 135 Morf.
- 1903. *Ischnocolus* Simon, *Hist. Nat. Ar.* 2: 917; 919; 920 Morf.; 922 Cl; 925 D gen.
- 1942. *Ischnocolus* Roewer, *Katalog der Araneae* 1: 233 B.
- 1957. *Ischnocolus* Bonnet, *Bibliographia Araneorum* 2: 2302 B.

Especie-tipo *I. holosericeus* L. Koch in Ausserer 1871, Portugal y España.

Diagnosis. Trocánter I sin cerdas estridulatorias; escópulas de los tarsos divididas por estrecha banda de cerdas; labio ancho, puede tener pocas o muchas espinulas; sigillas esternas posteriores marginales. Estria torácica recta o procurva. En el macho la tibia I carece de espolones y está provista de abundantes espinas. En la pata maxila el tarso puede sobrepasar mucho al bulbo.

El género *Ischnocolus* es el de mayor distribución geográfica dentro de la subfamilia y el que presenta mayor número de especies. Los ejemplares que hemos visto son tipos de especies que actualmente consideramos "inquirenda" o han pasado a sinonimia (Observaciones Nº 11). Por esta razón no podemos hacer una detallada descripción del género; solamente mencionamos los caracteres que Simon da para su diferenciación.

De sus 25 especies 4 son de Europa (3 de España una de las cuales mencionada también para Portugal: 1 de Sicilia). 1 de la Isla de Chipre. 9 se han mencionado para África del Norte. 4 para Asia y 6 para América (3 de América Central: Cuba, Puerto Rico y Costa Rica; las otras 3 son de América del Sud: Colombia, Brasil y Uruguay).

Gén. **ADRANOCHELIA** Simon 1889

(Lám. IX: 74 a 78)

1889. *Adranochelia* Simon, *Ann. Soc. ent. Fr.* (6) 9: 207 D gen. nov. ♂.
 1889. *Adranochelia* Simon, *Hist. Nat. Ar.* 1: 141 y 122 D.
 1942. *Adranochelia* Roewer, *Katalog der Araneae* 1: 225 B.
 1955. *Adranochelia* Bonnet, *Bibliographie Araneorum* 2: 160 B.

Especie-tipo *A. rufohirta* Simon 1889, Venezuela.

Diagnosis. Cefalotórax (prosoma) ovalado con la parte cefálica convexa. Foseta grande, transversa. Tubérculo ocular elevado, un poco más ancho que alto. Fila ocular anterior procurva con los ojos medios menores que los laterales anteriores que son los mayores. Fila posterior recurva: los ojos medios menores (Fig. 78). Labio subcuadrado, aguzado en la parte apical en donde presenta unas veinte espínulas bastante grandes. Esas espínulas se encuentran también en la base de las coxas del palpo. Patas largas con las tibias y metatarsos espinosos, sobre todo en las patas posteriores. Todos los tarsos con las escópulas divididas: en el tarso I por una línea de cerdas; en el tarso II por una banda formada por dos líneas de cerdas; en el tarso III la banda divisoria está formada por tres líneas y en el tarso IV la banda divisoria es muy ancha, formada por cuatro a seis líneas de cerdas. El metatarso I presenta una escópula en el tercio apical. La escópula del metatarso II ocupa el cuarto apical. En los metatarsos III y IV la escópula apical es muy pequeña. La tibia de la pata I en el macho presenta dos espolones bien separados entre sí: el espolón inferior bastante largo y poco robusto presenta una espina en el ápice; el espolón interno (superior) es mucho menor y obtuso. El metatarso I cierra por fuera del espolón externo (inferior) (Fig. 76). En la pata maxila el tarso es pequeño y el bulbo se continúa por un estilo muy corto (Fig. 74 y 75). Todo el cuerpo, abdomen, cefalotórax y patas, está revestido de densa pubescencia corta, apretada, y larguísimos pelos claros muy abundantes.

Hemos visto el ejemplar tipo N° 9608 de la colección de arañas del Museo de París.

Es un género monotípico de cuya única especie sólo se conoce el ♂ el que fue recolectado por Simon en Pto. Cabello, Venezuela, caminando de noche atraído por la luz.

Gén. **CENOBIOPELMA** Mello-Leitão y Arlé 1934

(Lám. V: 32 a 38)

1934. *Cenobiopelma* Mello-Leitão y Arlé, *Ann. Acad. bras. Sci.* 6 (3): 125 D gen. nov.
 1942. *Cenobiopelma* Roewer, *Katalog der Araneae* 1: 220 B.
 1956. *Cenobiopelma* Bonnet, *Bibliographie Araneorum* 2: 920 B.
 1962. *Cenobiopelma* Schiapelli y Gerschman de Pikelin, *An. Segundo Congreso Latinoamericano Zool. São Paulo* 2: 15 Distr.
 1969. *Cenobiopelma*: Gerschman de Pikelin y Schiapelli, *Bull. Hist. Nat.* (2): 41: 152 Sistem.
 1973. *Cenobiopelma* Gerschman de Pikelin y Schiapelli, *Rev. Soc. ent. Argentina* 34. Rev.

Especie-tipo *C. mimetica* Mello-Leitão y Arlé 1934, Brasil.

Diagnosis: Cefalotórax (prosoma) rectangular, largo. Foseta recta o recurva. Túmulo ocular no muy convexo, doble de ancho que largo; fila ocular posterior casi recta; fila anterior muy procurva. Ojos medios anteriores mucho menores que los laterales anteriores, los que son mayores que los laterales posteriores (Fig. 36 y 37). Labio tres veces más ancho que alto, sin espínulas. Coxas de las patas maxilas con un grupo de espínulas (de dos a veinte) en su ángulo ínfero-interno. Patas: IV-I-II y III. Patas anteriores con pocas espinas las que son numerosas en las patas posteriores. Todos los tarsos con sus escópulas divididas por una banda de cerdas, muy angosta en las patas anteriores y más ancha en el tarso IV. Metatarso I con escópula que sobrepasa la mitad del artejo; metatarso II con escópula que llega a la mitad; metatarso III con escópula apical. El metatarso IV carece de escópula. En el macho la tibia I presenta un espolón externo provisto de una espina negra, gruesa y muy curva. A su lado, hacia la cara interna, en un ensanchamiento del artejo se encuentran dos espinas negras, gruesas. El metatarso I cierra por fuera del espolón. El bulbo es pequeño, provisto de un larguísimo estilo muy delgado y aguzado (Fig. 34 y 35). El cuerpo revestido de densa pubescencia corta y fina, y pelos negros espiniformes. Además se encuentran en los quelíceros, patas, y menos numerosas en el abdomen, largas cerdas no hirsutas. Todos los tarsos presentan en su cara dorsal y en la línea media, una banda de cerdas claviformes muy cortas. Son Ischnocolinas pequeñas, de unos ocho a 12 mm de largo.

Este género tiene solamente dos especies: *C. mimetica* la especie-tipo de la que se conoce solamente la hembra, colectada en Brasil. No hemos vista esta especie porque no se pudo encontrar el espécimen tipo en la colección de arañas del Museo Nacional de Río de Janeiro en donde debía estar.

La segunda especie, *C. argentinensis* Mello-Leitão 1941, fue colectada en la Argentina. El autor describió solamente el *Holotypus* hembra. Nosotras hemos descrito el *Allotypus* macho (1973). En la colección del M.A.C.N. se encuentran varios ejemplares colectados en las provincias de Jujuy, Tucumán, Córdoba y San Luis (Argentina).

Gén. **CEROPELMA** Mello-Leitão 1923

(Lám. XI: 85 a 91)

1889. *Hapalopus* Simon, *Ann. Soc. ent. Fr.* (6): 9: 219 *D* sp. nov.
 1897. *Cyclosternum* Simon, *Boll. Mus. Zool. Anat. comp. Torino* 12 (270): 4 *D* sp. nov.
 1923. *Ceropelma* Mello-Leitão, *Rev. Mus. Paulista* 13: 133 *Cl* 175 *D* gen. nov.
 1942. *Ceropelma* Schiapelli y Gerschman de Pikelin, *An. Mus. Argen. Nat.* 40: 317 Figs. *D* sp. nov. ♂.
 1954. *Homoeomma* Gerschman de Pikelin y Schiapelli, *Physis* 20 (59): 1 *D*.
 1956. *Ceropelma* Bonnet, *Bibliographia Araneorum* 2: 1025 *B*.
 1965. *Ceropelma* Schiapelli y Gerschman de Pikelin, *An. Segundo Congr. Latino-Americano Zool. São Paulo* 1962 2: 15 *Distr.*
 1970. *Ceropelma* Schiapelli y Gerschman de Pikelin, *Physis* 30 (80): 225-239 Figs. *Revisión.*

Especie-tipo *C. insularis* Mello-Leitão 1923, Brasil.

Diagnosis: Cefalotórax (prosoma) más largo que ancho, apenas convexo, con foseta bien procurva. Túmulo ocular elevado, doble de ancho que alto; fila anterior procurva, los ojos medios menores que los laterales. Fila posterior recurva, los ojos medios menores, contiguos a los laterales (fig. 89 y 90). Labio subcuadrado poco más ancho que alto, en su región apical provisto de espínulas cuyo número puede variar de veinte a cincuenta. Estas se encuentran también en la región basal de las coxas del palpo, las que presentan el ángulo súper-interno bien prolongado. Esternón ovoide, con las sigillas esternales posteriores separadas del borde por su diámetro. Patas IV-I-II y III. Las coxas carecen de vellosidad particular en su cara anterior. Todos los tarsos escopolados: I y II con la división poco marcada; III dividido por una estrecha banda de cerdas; en el tarso IV la banda divisoria es más ancha. Las escópulas de los metatarsos bastante ralas: en el metatarso I llega a los dos tercios del artejo; en el II llega a la mitad del mismo y en el III y IV la escópula es apical. Las patas anteriores tienen muy pocas espinas, las que son más abundantes en las patas III y IV. En el macho el metatarso I presenta una protuberancia basal externa, cuyo tamaño varía en las distintas especies; este artejo cierra entre los dos espolones que pre-

senta la tibia I. Estos espolones son muy desiguales: el interno, mucho menor, está acompañado en toda su longitud por una gruesa espina. El espolón externo, mucho más largo y curvo, presenta en su mitad apical una espina adosada a su curvatura interna (Fig. 87). Todo el cuerpo y patas revestidos de vellosidad clara y abundantes cerdas espiniformes negras. Además presentan largas cerdas hirsutas, amarillentas, mucho más largas en el ápice de los quelíceros y en la parte posterior terminal del abdomen. Todos los tarsos tienen en su cara dorsal cortas y oscuras cerdas claviformes, las que se disponen no muy regularmente a los lados de la línea media, separadas por una franja longitudinal media de pelos oscuros. Hay muy pocas tricobotrias. La tibia del macho es larga con muy pocas espinas y abundantes cerdas largas en su cara ventral. El bulbo con la parte basal piriforme, y un largo estilo provisto de un diente. La longitud del estilo varía con las especies (fig. 85 y 86).

El género *Ceropelma* Mello-Leitão tiene cuatro especies, todas sudamericanas: *Ceropelma insularis* Mello-Leitão 1923 y *Ceropelma flavohirtus* (Simon 1889) de Brasil. *Ceropelma semiaurantiacum* (Simon 1897) de Paraguay y Uruguay. *Ceropelma longisternalis* Schiapelli y Gerschman 1942 de la Argentina y Uruguay, abundante en ambos países en donde vive bajo piedras. En la Argentina se encuentra solamente *C. longisternalis* recolectándose con frecuencia desde las provincias de Buenos Aires y La Pampa hasta el norte del país. De todas las especies hemos visto los especímenes tipos depositados en los museos de Río de Janeiro, París y Buenos Aires.

Gén. **CRYPSIDROMUS** Ausserer 1871

(Lám. VII: 51 a 57)

1871. *Crypsidromus* Ausserer, *Verh. zool. bot. Ges. Wien* 21: 193 *D* gen. nov.

Especie-tipo *C. isabellinus* Ausserer 1871, Brasil.

Ver: *Observaciones y Conclusiones* Nº 5

De este género hemos visto los tipos de especies de Ecuador y Venezuela depositados en los museos de Londres y París. Hemos elegido para la diagnosis a *Crypsidromus velox* (Pocock 1901) porque su autor ha descrito macho y hembra lo que nos ha permitido ilustrar los caracteres de ambos sexos. Esos tipos llevan los números 12-13 del British Museum (N.H.), siendo su procedencia Ecuador, Paramba, col. Rosenberg.

Diagnosis. Cefalotórax (prosoma) más largo que ancho, ovoide; región cefálica convexa, sobre todo en la hembra. Roseta torácica recta o procurva. Túmulo ocular muy elevado: ojos anteriores sub-

iguales en fila procurva. Fila posterior recurva, los ojos medios muy poco menores que los laterales posteriores. Labio subcuadrado más angosto en el ápice en donde presenta unas 40 a 50 espinulas bastante grandes; las que también se encuentran en el ángulo infero-interno de la coxa del palpo. Esternón poco más largo que ancho, ligeramente convexo. Patas IV-I-II y III, bastante largas. Metatarso I escopulado hasta la base del artejo; II escopulado hasta la mitad; el metatarso III con escópula en el tercio apical; en el metatarso IV la escópula es muy reducida. En el macho la tibia I carece de espolones y presenta abundantes espinas gruesas, negras (Fig. 54). El cuerpo y las patas revestidos de corta pubescencia y con cerdas espiniformes negras. Tienen además largos pelos claros. En la cara dorsal de los tarsos los cortos pelos claviformes están dispuestos irregularmente.

El género *Crypsidromus* tiene doce especies: cuatro son de Brasil, una de las cuales se encuentra también en Ecuador de donde se ha descrito otra especie más. Dos son de Venezuela; dos de Costa Rica; una de Bolivia; 1 de Méjico y una de la Isla Trinidad.

Gén. *CYCLOSTERNUM* Ausserer 1871

(Lám. IX: 68 a 73)

1871. *Cyclosternum* Ausserer, *Verh. zool. bot. Ges. Wien* 21: 192 D gen. nov. ♀.
 1892. *Cyclosternum* Simon, *Hist. Nat. Ar.* 1: 141 Morf. fig. 123.
 1903. *Cyclosternum* Simon, *Hist. Nat. Ar.* 2: 920 Morf. 924 Cl 920 D.
 1923. *Cyclosternum* Mello-Leitão, *Rev. Mus. Paulista* 13: 152 D ♀.
 1942. *Cyclosternum* Roewer, *Katalog der Araneae* 1: 228 B.
 1956. *Cyclosternum* Bonnet, *Bibliographia Araneorum* 2: 1326 B.

Especie-tipo *C. schmardae* Ausserer 1871, Ecuador.

Diagnosis: Cefalotórax (prosoma) alargado, ovoide, poco aguzado adelante. Tímulo ocular poco elevado: fila anterior apenas procurva, ojos subiguales. Fila posterior poco recurva, los ojos medios menores (Fig. 71). Foseta torácica recta. Esternón redondeado, no más largo que ancho, apenas convexo, con las sigillas posteriores separadas del margen por su diámetro. Labio más ancho que alto, más angosto en el ápice en donde presenta unas 50 espinulas, que también se encuentran en el ángulo infero-interno de la coxa del palpo. Patas IV-I-II y III. Los tarsos con densas escópulas: en la pata I apenas dividida por una línea de cerdas; en la pata II por una banda de dos líneas de cerdas; en la pata III la banda está formada por 3 líneas de cerdas; la escópula del tarso IV está dividida por una ancha banda formada de 5 a 6 líneas de cerdas. Todos los metatarsos escopulados;

en la pata I la escópula llega hasta la base del artejo; en el metatarso II llega hasta la mitad; en el III un poco menos y el metatarso IV presenta una escópula apical. En el macho la tibia I está provista de dos espolones unidos en su base; gruesos y curvos, más o menos del mismo largo (Fig. 72). El metatarso I cierra por fuera del espón externo. La tibia del palpo presenta numerosas espinas en la cara interna. El bulbo es grueso, piriforme y el estilo es muy corto (Fig. 68 y 69). Todo el cuerpo revestido de corta y densa pubescencia y pelos espiniformes negros. Tienen además abundantes y largos pelos claros. Los tarsos presentan en su cara dorsal dos filas de pelos claviformes dispuestos irregularmente. El género *Cyclosternum* comprende actualmente 5 especies: dos de Ecuador, dos de Cuba y una de Méjico.

Para el estudio del género tuvimos a nuestra disposición el ejemplar macho N° 9985 del Museo de París, determinado por Simon y un ejemplar ♀ que nos fue enviado por el Museo de Estocolmo para su determinación. Ese ejemplar nos permitió ilustrar las espermatecas que no habían sido vistas hasta ahora (N° 6545 ♀ MACN).

Gén. *CYRIOCOSMUS* Simon 1903

(Lám. III: 16 a 22)

1889. *Hapalopus* Simon, *Ann. Soc. ent. Fr.* (6) 9: 205 D sp. nov.
 1897. *Cyclosternum* Simon, *Bull. Mus. Torino* 12 (270): 3 D ♂ y ♀.
 1903. *Cyriocosmus* Simon, *Hist. Nat. Ar.* 2: 924 Cl; 929 D gen. nov.
 1923. *Cyriocosmus* Mello-Leitão, *Rev. Mus. Paulista* 13: 156 D.
 1930. *Pseudhomoeomma* Mello-Leitão, *Arch. Mus. Nac. Rio de Janeiro* 32: 57 D gen. nov.
 1942. *Hapalopus* Roewer, *Katalog der Araneae* 1: 231 B.
 1956. *Cyriocosmus* Bonnet, *Bibliographia Araneorum* 2: 1340 B.
 1971. *Pseudhomoeomma* Bucherl y col., *Mem. Inst. Butantan* 38: 125 Fig.
 1973. *Cyriocosmus* Schiapelli y Gerschman de Pikelin, *Physis* N° 84. Revisión.

Especie-tipo *C. sellatus* (Simon 1903) Brasil.

Diagnosis: Cefalotórax (prosoma) más largo que ancho, poco aguzado en su región cefálica; foseta torácica muy procurva; tímulo ocular, ancho. Fila ocular anterior procurva, ojos subiguales, los medios apenas más pequeños que los laterales. Fila posterior recurva, los ojos medios, angulosos, son más pequeños. Ojos laterales posteriores menores que los laterales anteriores (Fig. 20 y 21). Labio más o menos igual de ancho que alto, más angosto en el ápice en donde presenta una angosta banda de espinulas. Coxas de los palpos con espinulas en los dos tercios de su borde interno, las que van raleando

hacia el centro del artejo. Esternón convexo, corto, cordiforme, con pequeñas sigillas marginales. Las patas presentan espinas solamente en los cuatro metatarsos y un par apical en las tibia III y IV, siendo más numerosas en las patas posteriores. Las escópulas de los tarsos son densas y están divididas por una banda de cerdas. Las escópulas de los metatarsos son ralas. El metatarso IV presenta una escópula apical. La vellosidad de revestimiento no es muy densa; se encuentran además pelos espiniformes oscuros; y en las patas y abdomen largas cerdas claras que no son tan hirsutas como en otros géneros de *Ischnocolinae*. Las cortas cerdas claviformes en la cara dorsal de los tarsos, dispuestas en dos filas irregulares a ambos lados de la línea media. En el macho la tibia I presenta dos espolones de distinto tamaño (fig. 19). El metatarso I, al cerrar, descansa sobre el espolón grande, que es el externo. La tibia del palpo tiene rastrillo. El bulbo se caracteriza por presentar, próxima a la base del estilo, una apófisis más o menos larga, según las especies (Simon los describe como bulbos de doble estilo) (fig. 16 y 17). Las espermatecas de la hembra tienen forma de tubo espiralado terminado en forma de cáliz (fig. 22). Son bastante similares en todas las especies. Son arañas de tamaño medio, variando entre los 15 y 20 mm.

En nuestro trabajo de revisión del género (1973) citamos sus tres especies válidas: *Cyriocosmus sellatus* (Simon) citada solamente para Brasil, Alto Amazonas. *Cyriocosmus elegans* (Simon) del norte del continente sudamericano, común en Venezuela y Brasil, región amazónica. La hemos encontrado también en material proveniente de Bolivia. Y la tercera especie *Cyriocosmus versicolor* (Simon) descrita para el Paraguay, citada también para Brasil, Matto Grosso, es la única especie que se encuentra en la Argentina: Salta y Santiago del Estero.

Gén. **CYRTOPHOLIS** Simon 1892

(Lám. I: 1-7)

1875. *Cyrtosternum* Ausserer, *Verh. zool. bot. Ges. Wien* 25: 176 D gen. nov. ♀.
 1892. *Cyrtopholis* Simon, *Hist. Nat. Ar.* 1: 143 nom. nov. D.
 1895. *Cyrtosternum* Pocock, *Ann. Mag. Nat. Hist.* (6) 15: 226 Syn.
 1902. *Cyrtopholis* Pocock, *Ann. Mag. Nat. Hist.* (7) 11: 94; 98 Morf.
 1903. *Cyrtopholis* Simon, *Hist. Nat. Ar.* 2: 922 Morf.
 1903. *Cyrtopholis*: Simon, *Hist. Nat. Ar.* 2: 922 Morf.
 1945. *Cyrtopholis* Vellard, Schiapelli y Gerschman, *Acta Zool. Lilloana* 3: 153 D ♂.
 1956. *Cyrtopholis* Bonnet, *Bibliographia Araneorum* 2: 1350 B.
 1965. *Cyrtopholis* Gerschman de Pikelin y Schiapelli, *Physis* 25: N° 70: 376 fig. 3.

Especie-tipo *C. cursor* (Ausserer 1875) Sto. Domingo.

Diagnosis. Este género es fácilmente reconocible porque es el único dentro de la subfamilia *Ischnocolinae* que presenta un órgano estridulatorio compuesto de unas ocho a diez cerdas plumosas ubicadas en la cara anterior del trocánter de la pata I y en la cara posterior del trocánter del palpo. Tumor ocular alto; fila anterior procurva, fila posterior recurva (Lám. I: fig. 3 y 6). Labio cuadrado con unas 30 a 35 espínulas en su ápice. Patas: IV-I-II y III. La división de las escópulas tarsales en la pata I es apenas marcada por algunas cerdas; pero las escópulas de los tarsos IV están divididas por una estrecha banda de cerdas. En los metatarsos anteriores la escópula llega a la base del artejo; en el metatarso III hasta la mitad del mismo; y en el IV la escópula es apical. En el macho la tibia I presenta dos espolones (fig. 5) desiguales. El metatarso I cierra por fuera del espolón infero-externo. El bulbo es grueso, piriforme, con un estilo muy pequeño. Las espermatecas como en la fig. 7, son muy semejantes en su forma a las del género *Grammostola* Simon (Subfamilia *Grammostolinae*). El esternón puede ser convexo o no. En el tipo es convexo.

Por su órgano estridulatorio puede ser confundido con el género *Acanthoscurria* Ausserer, que pertenece a la subfamilia *Theraphosinae*, pero este presenta una escópula aterciopelada en la cara externa del fémur IV que no se encuentra en *Cyrtopholis*. Por la forma de las espermatecas puede confundirse con el género *Grammostola* Simon; pero en este las cerdas estridulatorias se encuentran en la coxa y no en el trocánter de la pata I y del palpo.

Para el estudio del género *Cyrtopholis* hemos contado con material del British Museum (N.H.): el espécimen tipo de *C. cursor* (Ausserer) ♀ N° 1890-7-1-35; y el tipo ♂ N° 832 de la col. MACN de *C. palmarum* Vellard, Schiapelli y Gerschman.

Tiene unas 20 especies que se encuentran en Centro América, Antillas y Brasil (Ver Conclusiones N° 7).

Gén. **CHAETORHOMBUS** Ausserer 1871

(Lám. III: 23-24)

1871. *Ch.* Ausserer, *Verh. zool. bot. Ges. Wien* 21: 196 D ♀ gen. nov.
 1889. *Ch.* Simon, *Ann. Soc. ent. Fr.* (6) 9: 205 Cl y D ♂ y ♀.
 1892. *Ch.* Simon, *Hist. Nat. Ar.* 1: 141 D; 2: 922 Cl fig. 117 Morf.
 1923. *Ch.* Mello-Leitão, *Rev. Mus. Paulista* 13: 134 D.
 1945. *Ch.* Vellard, Schiapelli y Gerschman, *Acta Zool. Lilloana* 3: 180 D T. vii: c, d, e.
 1956. *Ch.* Bonnet, *Bibliographia Araneorum* 2: 1032 B.

Especie-tipo *Ch. kochi* Ausserer 1871, Venezuela.

Diagnosis. Este género se caracteriza porque la banda que divide las escópulas tarsales se ensancha en el ápice formando una figura romboidal. Cefalotórax (prosoma) largo, ovalado, convexo; la foseta torácica apenas procurva, transversa. Tímulo ocular no muy elevado; fila anterior procurva, fila posterior recurva. Los ojos medios posteriores no son muy pequeños (fig. 23). Labio subcuadrado con numerosas espinulas apicales, bastante grandes. Esternón convexo, apenas más ancho que largo. Patas IV-I-II y III cortas y gruesas. Las escópulas de los tarsos anteriores con la división apenas marcada. En los tarsos III la banda divisoria está formada por 3 a 4 líneas de cerdas; en la pata IV la escópula está dividida por una banda de 5 a 6 líneas de cerdas. En el metatarso I y II la escópula llega a la mitad del artejo. En el metatarso III ocupa el tercio apical y en el metatarso IV es apenas apical. En el macho la tibia I presenta dos espolones muy pequeños y desiguales. Las espermatecas como en la figura 24.

Este género tiene cuatro especies que se han recolectado en Venezuela y Brasil.

Nosotros hemos estudiado el ejemplar tipo ♂ N° 833 del MACN de Ch. bicolor Vellard, Schiapelli y Gerschman 1945 recolectado por Vellard en Brasil: Río Pimienta Bueno.

Gén. **HAPALOPINUS** Simon 1903

(Lám. VIII: 58 a 62)

1903. H. Simon, *Hist. Nat. Ar.* 2: 920 D ♂ fig. 1085 y 1086.

1957. H. Bonnet, *Bibliographia Araneorum* 2: 2084 B.

Especie-tipo *H. cubanus* Simon 1903, Cuba.

Diagnosis. Foseta torácica recurva. Tímulo ocular alto, fila anterior procurva, los laterales mayores que los medios. Fila ocular posterior apenas recurva, los ojos medios son los menores (fig. 62). Labio subcuadrado, más ancho que alto con unas 40 espinulas en el ápice. Sigillas esternas marginales. Patas largas. Los tarsos I y II con escópulas divididas por una línea de cerdas poco visible. En los tarsos III y IV la escópula está dividida por una banda formada por 3 líneas de cerdas. En el metatarso I y II la escópula llega a la mitad del artejo; en el metatarso III ocupa el tercio apical; en el IV no llega al tercio apical del artejo. Los metatarsos I y II presentan abundantes pelos curvos, largos y finos. La tibia I en el macho presenta dos espolones separados muy desiguales. El metatarso I cierra por fuera del espolón externo que es el mayor (fig. 60). La tibia del palpo presenta gruesas espinas en la cara interna (fig. 61). El bulbo es

pequeño y se continúa con un larguísimo estilo (fig. 58 y 59). La hembra no está descripta. Son de tamaño mediano (20 mm).

Este género es monotípico; su única especie, *H. cubanus* Simon se ha recolectado en Cuba.

Hemos estudiado el ejemplar tipo ♂ N° 17702 de la colección del Museo de París.

Gén. **HAPALOPUS** Ausserer 1875

(Lám. X: 79 a 84)

1875. H. Ausserer, *Ver. zool. bot. Ges. Wien* 25: 175 T.: 17-18 D ♂ gen. nov.

1897. H. Pickard-Cambridge, F. O., *Biologia Centr. Amer.* 2: 30 D.

1923. H. Mello-Leitão, *Rev. Mus. Paulista* 13: 159 D.

1942. H. Roewer, *Katalog der Araneae* 1: 230 B.

1957. H. Bonnet, *Bibliographia Araneorum* 2: 2084 B.

Especie-tipo *H. formosus* Ausserer 1875, Colombia.

Diagnosis. Foseta torácica procurva. Tímulo ocular alto; fila anterior procurva, ojos bastante grandes, subiguales. Fila ocular posterior recurva, los ojos medios mucho menores (fig. 81). Labio subcuadrado con numerosas espinulas apicales bastante grandes. Sigillas esternas marginales. Patas largas. La división de las escópulas en los tarsos I y II es poco visible. En los tarsos III y IV las escópulas están divididas por una banda angosta de cerdas. El metatarso I tiene una escópula que llega casi a la base del artejo. En el metatarso II la escópula llega a la mitad; y en III y IV es solamente apical. La cara anterior de la coxa I presenta pelitos blancos, cortos y finos, los que se encuentran también revistiendo todo el cuerpo. La tibia I en el macho presenta dos espolones cortos y gruesos juntos en su base (fig. 83). El externo es muy poco más largo, curvo. El metatarso I, curvo en su base, cierra entre los dos espolones descansando en el interno. La tibia del palpo presenta un rastrillo externo formado por varias espinas negras, cortas y gruesas (fig. 82). El bulbo es voluminoso, con un estilo muy corto (fig. 79 y 80). Espermatecas como en la fig. 84. Ver *Conclusiones* N° 8.

Este género tiene unas cinco especies de Colombia, Brasil e Isla Trinidad. Con respecto a la especie citada para I. Trinidad, *Hapalopus incei* Pickard-Cambridge 1898, tenemos muchas dudas de que se trate de un *Hapalopus* porque el metatarso IV no tiene escópula, los espolones de la tibia I son muy distintos y el estilo es muy largo y fino.

Material estudiado: el ejemplar determinado por Simon ♂ N° 18412 de la col. M. París. De la misma colección los ejemplares ♂ y ♀ N° 9884; de *Hapalopus formosus* Ausserer y el ejemplar tipo ♂ N° 1006 de *Hapalopus pentatoris* (Simon 1888).

Gén. **HAPALOTREMUS** Simon 1903

(Lám. VIII: 63 a 67)

1903. H. Simon, *Hist. Nat. Ar.* 2: 924 Cl; 929D gen. nov.

1957. H. Bonnet, *Bibliographia Araneorum* 2: 2086 B.

Especie-tipo *H. albipes* Simon 1903, Bolivia.

Diagnosis. Foseta torácica transversa, recta. Tímulo ocular alto, ojos medios anteriores menores que los laterales anteriores y mayores que los medios posteriores (fig. 63). Labio más ancho que alto con unas 5 a 6 espínulas en su borde apical. La cara anterior de la coxa I presenta pelitos blancos, cortos y finos, que revisten también todo el cuerpo de la araña. Todos los tarsos con escópulas divididas por angosta banda de cerdas; en el tarso IV en donde la banda es más ancha, está formada por 4 a 5 líneas de cerdas. En el metatarso IV la escópula es sólo apical. La tibia I del macho presenta dos espolones en una base común en un ensanchamiento apical del artejo. El metatarso I muy curvo en su base, al cerrar se apoya en el espolón mayor (fig. 64). El bulbo se continúa en un estilo bastante grueso, muy largo y muy curvo (fig. 65 y 66). La tibia del palpo no presenta rastillo externo.

Es un género monotípico (ver *Conclusiones* N° 9). Su única especie *H. albipes* Simon 1903 fue colectada en Bolivia, Chaco a 2.000 m de altura. No se ha encontrado en otro lugar. Su mención para la Argentina es un error.

Material estudiado. El ejemplar tipo ♂ N° 18006 de la col. M. París. Se ha descrito solamente el ♂. No se conoce la ♀.

Gén. **HETEROTHELE** Karsch 1879

(Lám. II: 8 a 13)

1879. *Heterothele* Karsch, *Ges. Naturf. Fr. Berlin* (4): 64 D.

1885. *Mitura* Simon, *Bull. Soc. zool. Fr.* 11: 574 D ♀ gen. nov.

1892. *Mitothele* Simon, *Hist. Nat. Ar.* 1: 133 Syn.

1897. *Heterothele* Pocock, *Proc. Soc. Zool. London*: 787 T, 41: 6 D ♂.

1903. *Heterothele* Simon, *Hist. Nat. Ar.* II: 923 Cl; 925 D; 965 Syst.

1942. *Heterothele* Roewer, *Katalog der Araneae* 1: 232 B.

1957. *Heterothele* Bonnet, *Bibliographia Araneorum* 2: 2201 B.

1965. *Heterothele* Schiapelli y Gerschman de Pikelin, *An. Segundo Congreso Latino-Americano Zool. São Paulo* 1962 2: 15 Distr.

Especie-tipo *H. honesta* Karsch 1879, Congo.

Este género, muy ambiguo, presenta dificultades para su ubicación sistemática. En un principio, por sus largas hileras y la presencia de una tercera uña tarsal, muy pequeña y que puede faltar en los tarsos anteriores, se lo consideró como *Dipluridae* y en esta familia lo colocó Karsch. Pero Simon (1892: *Mitothele*), que también lo había acercado a *Diplura* por los caracteres arriba citados, consideró que por la presencia de fascículos ungueales muy desarrollados y por las escópulas tarsales divididas longitudinalmente por una banda de cerdas, debía ubicarse con las *Ischnocolinae*. Lo cierto es que resulta anormal dentro de las *Dipluridae* como dentro de las *Ischnocolinae*.

Diagnosis. Se separa fácilmente de los demás géneros de la subfamilia por las largas hileras superiores y por los ojos medios anteriores (fig. 10 y 13) mucho más grandes que los laterales anteriores. El labio, poco más ancho que alto, presenta numerosas espínulas (unas 60) en el ápice, las que se encuentran también en la base de la coxa del palpo. Las uñas superiores de los tarsos tienen una sola fila de dientes. La escópula del metatarso I llega a la mitad del artejo. En el metatarso II ocupa el tercio apical; en el III es solo apical; el metatarso IV carece de escópula. La tibia I en el macho carece de espolones. El bulbo es pequeño y se continúa con un larguísimo estilo (fig. 8 y 9). El cuerpo está revestido con larguísimos pelos no hirsutos, muy abundantes en las patas I y II.

El género *Heterothele* tiene siete especies con una distribución muy particular: seis especies son de Africa y solo una *H. caudicula* (Simon) ha sido colectada en la Argentina: Santa Cruz.

Material estudiado. El ejemplar tipo de *Heterothele caudicula* (Simon 1887) ♀ N° 8332 de la col. M. París. De la misma colección hemos visto los ejemplares ♂ y ♀ N° 15443 determinados por Simon de *Heterothele gabonensis* (Lucas 1858) especie que hemos ilustrado por tener a nuestra disposición los dos sexos. Llama la atención que las espermatecas de las hembras, en las dos especies, son muy semejantes.

Gén. **HOMOEOMMA** Ausserer 1871

(Lám. IV: 25 a 31)

1871. *Homoeomma* Ausserer, *Verh. zool. bot. Ges. Wien* 21: 210 D. gen. nov.1972. *Homoeomma* Gerschman de Pikelin y Schiapelli, *Physis*: 31 Nº 82: 237-258. Revisión.Especie-tipo *H. stradlingi* Pickard-Cambridge 1881, Brasil.

Omitimos la complicada bibliografía de este género porque se encuentra detallada en nuestro trabajo de revisión del género de 1972 (ver *Conclusiones* Nº 10).

Diagnosis. Cefalotórax (prosoma) más largo que ancho, poco elevado con foseta procurva. Tímulo ocular elevado, rectangular; fila anterior procurva; fila ocular posterior recurva (fig. 30). Los ojos medios de ambas filas son más o menos del mismo tamaño, menores que los laterales (por este carácter ha recibido el nombre el género). Labio más ancho que largo, más angosto en el ápice, convexo y con abundantes espinulas en su tercio apical. Coxa del palpo con espinulas en su ángulo infero-interno. Esternón con las sigillas posteriores marginales. Patas IV-I-II y III. Coxas anteriores con la cara interna vellosa; trocánteres y coxas sin cerdas estridulatorias. Escópula de los tarsos dividida por estrecha banda de cerdas. Patas con espinas muy abundantes sobre todo en las posteriores. En el macho la tibia I está provista de dos espolones apicales, desiguales, entre los que cierra el metatarso I. Este puede ser arqueado o no, presentar o no, una protuberancia basal más o menos desarrollada. El metatarso IV carece de escópula. El bulbo presenta una prolongación digitiforme basal, característica del género. El estilo es grueso y puede ser más o menos largo según las especies. La tibia del palpo en el macho puede presentar en su cara interna un nódulo, a veces muy poco visible. El cuerpo y patas están revestidos de densa vellosidad y pelos negros más o menos erectos. Salvo el esternón y las coxas, todo el cuerpo y patas presentan largos pelos hirsutos de extremidad rojiza, clara. En las tibias, metatarsos y tarsos hay tricobotrias. En la cara dorsal de los tarsos, separados por una banda longitudinal de pelos, se ven algunas cerdas muy cortas y gruesas, claviformes, dispuestas irregularmente. El tamaño de los ejemplares de *Homoeomma* oscila entre los 15 y 40 mm de largo, según las especies.

De las 10 especies con que cuenta el género sólo dos se han colectado en la Argentina: *Homoeomma elegans* (Gerschman de Pikelin y Schiapelli 1958) y *Homoeomma uruguayensis* (Mello-Leitão 1946) que tam-

bién se encuentra en el Uruguay. De las demás una es de Colombia y Brasil y el resto solamente citadas para Brasil.

Gén. **MAGULLA** Simon 1892

(Lám. II: 14 y 15)

1891. *Ischnocolus* Keyserling, *Spinnen Amerikas* 3 (Brasil. Spi.): 13 D ♀.
 1892. *Magulla* Simon, *Ann. Soc. ent. Fr.* 61: 270 D gen. nov.
 1892. *Magulla* Simon, *Hist. Nat. Ar.* 1: 133 Morf.; 137 D.
 1895. *Magulla* Pocock, *Proc. Soc. Zool. London*: 228 Syn.
 1903. *Magulla* Simon, *Hist. Nat. Ar.* 2: 922 Cl; 927 Syn.
 1949. *Magulla* Bücherl, *Mem. Inst. Butantan* 21: 261 fig. D ♀.
 1950. *Magulla* Bücherl, *Mem. Inst. Butantan* 22: 1 fig. D ♂.
 1957. *Magulla* Bonnet, *Bibliographia Araneorum* 2: 2699 B.

Especie-tipo *M. obesa* Simon 1892, Brasil.

Diagnosis. Cefalotórax (prosoma) corto, convexo y ancho, aguzándose adelante; foseta procurva. Tímulo ocular poco convexo (fig. 15); fila anterior procurva, los medios menores que los laterales. Fila posterior recurva, los medios son los menores. Quelíceros pequeños subverticales. Esternón más ancho que largo, levemente convexo. Labio poco más ancho que alto, densamente espinulado en el ápice. La coxa del palpo está también densamente espinulada. Patas IV-I-II y III, breves y robustas. Metatarsos anteriores cortos, más cortos que los tarsos. Metatarso IV en escópula. Escópulas tarsales densas: en el tarso I dividida apenas por una línea de cerdas; así también en el II. En III y IV la escópula está dividida por una banda de cerdas.

Del género *Magulla* se han descrito tres especies, todas de Brasil.

Material estudiado. El tipo ♀ Nº 1041 de la col. M. Paris de *Magulla obesa* Simon. También hemos visto en el British Museum (N.H.) el tipo de *Magulla janeira* (Keyserling 1891) descrito como *Ischnocolus janeirus* y que fue muy acertadamente pasado al género *Magulla* por Pocock. No hemos visto ningún macho.

Gén. **MELLOLEITAOINA** Gerschman de Pikelin y Schiapelli 1959

(Lám. VI: 45 a 50)

1959. *Melloleitoina* Gerschman de Pikelin y Schiapelli, *Physis* 21: Nº 61: 200 D gen. nov. fig. 1-3 ♂.
 1965. *Melloleitoina* Schiapelli y Gerschman de Pikelin, *An. Segundo Congr. Latino-Americano Zool. São Paulo* 1962 2: 11 Distr.

Especie-tipo *M. crassifemur* Gerschman de Pikelin y Schiapelli 1959, Argentina.

Diagnosis. Cefalotórax (prosoma) no muy convexo; foseta torácica ligeramente procurva. Tímulo ocular poco elevado: fila ocular anterior apenas procurva, ojos medios menores que los laterales. Fila ocular posterior recurva, ojos medios mucho menores que los laterales posteriores y poco menores que los medios anteriores (Fig. 50). Esternón tan largo como ancho, con las sigillas marginales. Labio más ancho que alto con muy pocas espinulas. Estas son muy numerosas en el ángulo infero-interno de la coxa del palpo. Patas IV-I-II y III; gráciles y poco espinosas. Las escópulas de los tarsos están divididas en I por una banda de 3 líneas de cerdas; en el II la banda está formada por 4 líneas; en el tarso III por 5 líneas y la escópula del tarso IV está dividida por una banda de más de cinco líneas de cerdas. El metatarso IV carece de escópula. La tibia I en el macho ensanchada en el ápice, está provista de dos espolones muy desiguales (fig. 48); el externo, largo y curvo, con una gruesa espina en su mitad apical; el interno, muy pequeño, con una gruesa y larga espina en su base. El metatarso I, apenas arqueado, cierra por fuera del espolón externo. El tarso del palpo es pequeño no sobrepasando al bulbo que es grueso, alargado y termina en un estilo muy curvo (fig. 46 y 47). Fémur III muy engrosado, en forma de huso. El engrosamiento es menos notable en la hembra. Epigino como en la fig. 50.

Es un género monotípico. Se lo ha encontrado solamente en el norte de la Argentina. Cuando se describió por primera vez solo se conocía el macho. Actualmente podemos ilustrar las espermatecas de la hembra por tener material recolectado en distintas localidades de la provincia de Salta, Argentina.

Gén. **TMESIPHANTES** Simon 1892

(Lám. VI: 39 a 44)

1892. *Tmesiphantes* Simon, *Ann. Soc. ent. Fr.* 61: 277 D gen. nov.

1892. *Tmesiphantes* Simon, *Hist. Nat. Ar.* 1: 138 D.

1903. *Tmesiphantes* Simon, *Hist. Nat. Ar.* 2: 922 Cl. f. 1070 I.

1959. *Tmesiphantes* Bonnet, *Bibliographia Araneorum* 2: 4648 B.

Especie-tipo *T. nubilus* Simon 1892, Brasil.

Ver Conclusiones Nº 12.

Diagnosis. Cefalotórax (prosoma) ovalado, con la parte cefálica principalmente en la hembra, convexa. Foseta procurva. Esternón redondeado, con las sigillas posteriores alejadas del margen, a igual

distancia de la línea media que del margen del esternón. Labio subcuadrado, muy poco más ancho que alto con unas 30 espinulas apicales bastante grandes. Ojos como en la fig. 44. Patas IV-I-II y III, bastante largas y espinosas. La escópula del tarso I está dividida por una línea de cerdas; la del II por una banda de cuatro líneas; en el tarso III la banda está formada por cuatro a cinco líneas. La escópula del tarso IV está dividida por una ancha banda de seis líneas de cerdas. El metatarso IV no tiene escópula. La tibia I del macho tiene dos espolones muy desiguales (fig. 42). El metatarso I, recto, cierra por fuera del espolón externo. Bulbo (fig. 39 y 40) grueso, alargado, con un estilo muy curvo. El cuerpo y patas revestidos con largos pelos claros, no hirsutos. Espermatecas como en la fig. 44.

Actualmente hay cuatro especies de *Tmesiphantes*, una de Venezuela y tres de Brasil.

Material estudiado. Los ejemplares tipos ♂ y ♀ Nº 1072 del M. Paris de *Tmesiphantes nubilus* Simon (1892).

Summary. — The Subfamily *Ischnocolinae* (Araneae: Theraphosidae). Eighteen genera with 32 species whose Type specimens are kept in various museums in the Argentine and abroad are studied. A list of all the genera and species of the subfamily is given. Prolonged studies allowed to establish changes, new combinations and synonymies. After intense study and comparison of the Types the valid characters are pointed out. They are: the presence or absence of the stridulating organ and of the scopulae of metatarsus IV; curvature of the dorsal groove; arrangement of the eyes; genitalia and secondary sexual characters. The variability and possible changes from pullus to adult must be born in mind. A key for the determination of genera is added. The valid characters are illustrated in XI tables. Two maps show the geographical distribution of the subfamily based on the studied material and that quoted in the literature.

REVISTA

DEL

MUSEO ARGENTINO DE CIENCIAS NATURALES «BERNARDINO RIVADAVIA»

E INSTITUTO NACIONAL DE INVESTIGACIÓN DE LAS CIENCIAS NATURALES

Entomología, Tomo IV, nº 2, junio de 1973

LAMINA I

Cyrtopholis palmarum Vellard, Schiapelli y Gerschman 1946. *Holotypus* ♂ N° 832 col. M.A.C.N.

Fig. 1 — Bulbo, cara externa

Fig. 2 — Bulbo, cara interna

Fig. 3 — Grupo ocular

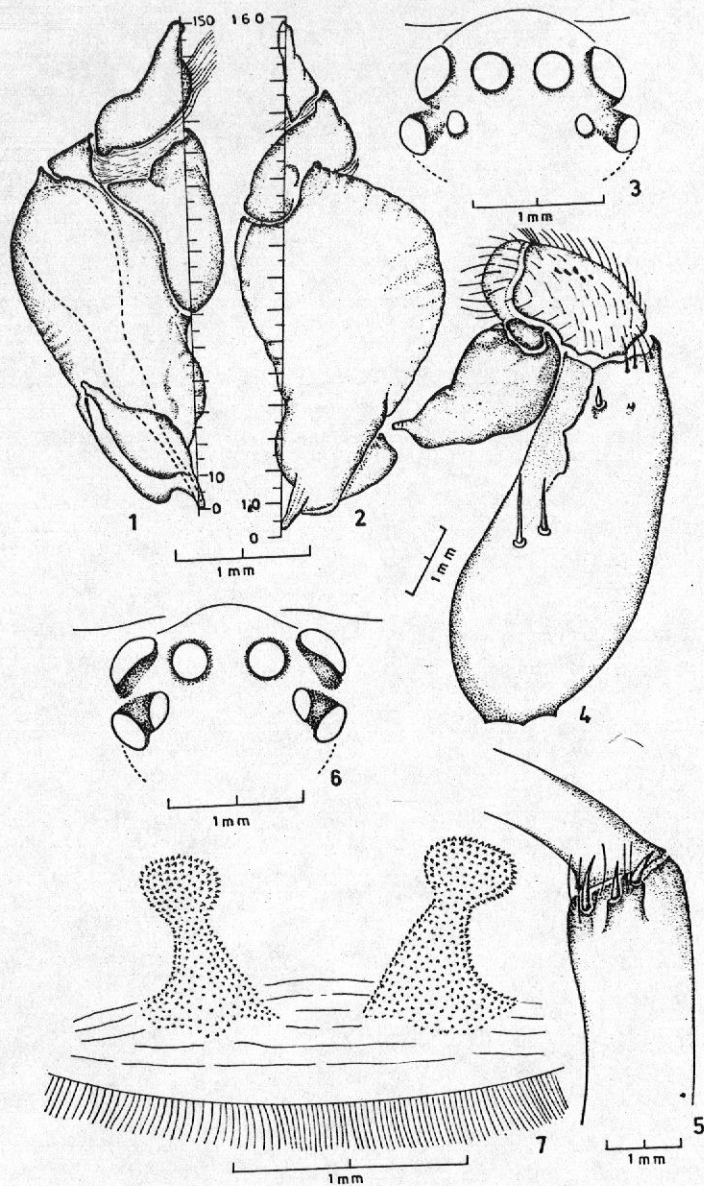
Fig. 4 — Palpo

Fig. 5 — Tibia I, espolones apicales

Cyrtopholis cursor (Ausserer 1875). *Holotypus* ♂ N° 1890-7-1-35 British M. (N.H.)

Fig. 6 — Grupo ocular

Fig. 7 — Espermatecas



LAMINA II

Heterothele gabonensis (Lucas 1858) ♂ N° 15.443 col. M. Paris determinado por Simon

Fig. 8 — Bulbo, cara externa

Fig. 9 — Bulbo, cara interna

Fig. 10 — Grupo ocular

Fig. 11 — Palpo

Heterothele gabonensis (Lucas 1858) ♀ N° 15.443 col. M. Paris determinado por Simon

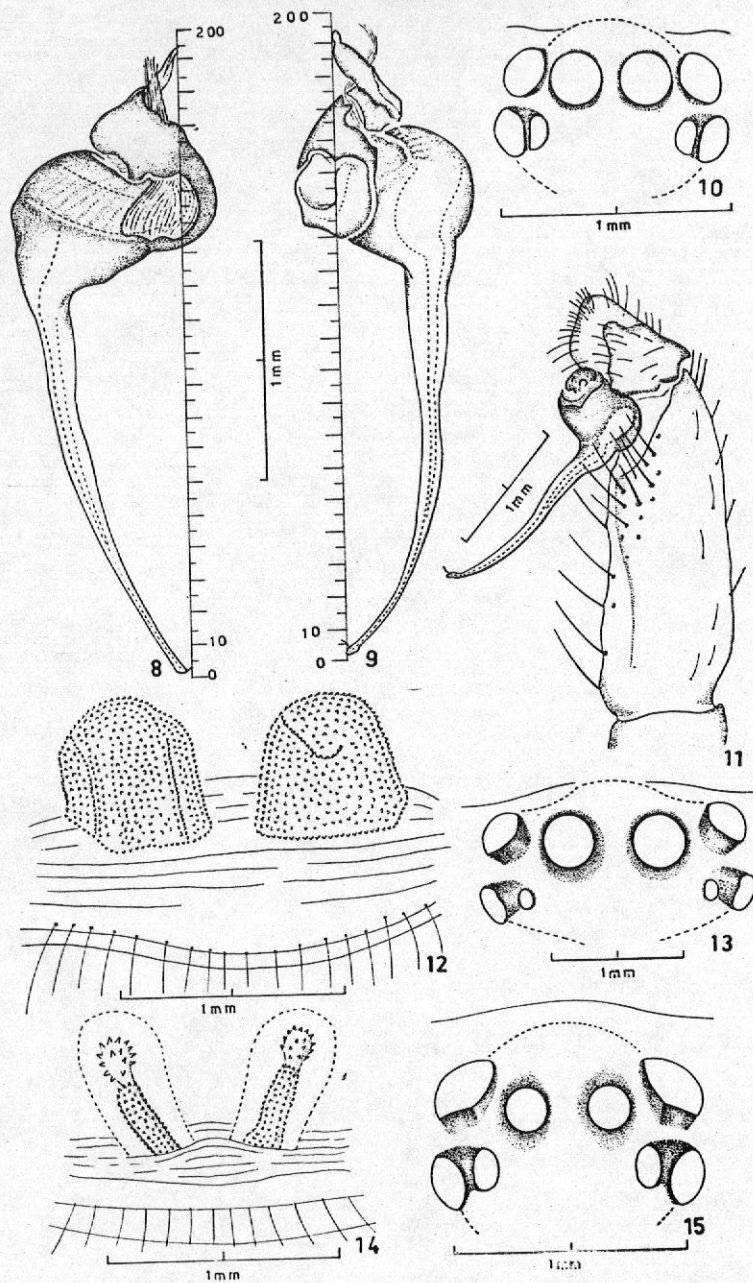
Fig. 12 — Espermatecas

Fig. 13 — Grupo ocular

Magulla obesa Simon *Typus* ♀ N° 1041 col. M. Paris

Fig. 14 — Espermatecas

Fig. 15 — Grupo ocular



LAMINA III

Cyriocosmus sellatus (Simon 1889) *Typus* ♂ y ♀ N° 8102 col. M. Paris

Fig. 16 — Bulbo, cara externa

Fig. 17 — Bulbo, cara interna

Fig. 18 — Palpo del ♂

Fig. 19 — Espolones de la tibia I

Fig. 20 — Grupo ocular del ♂

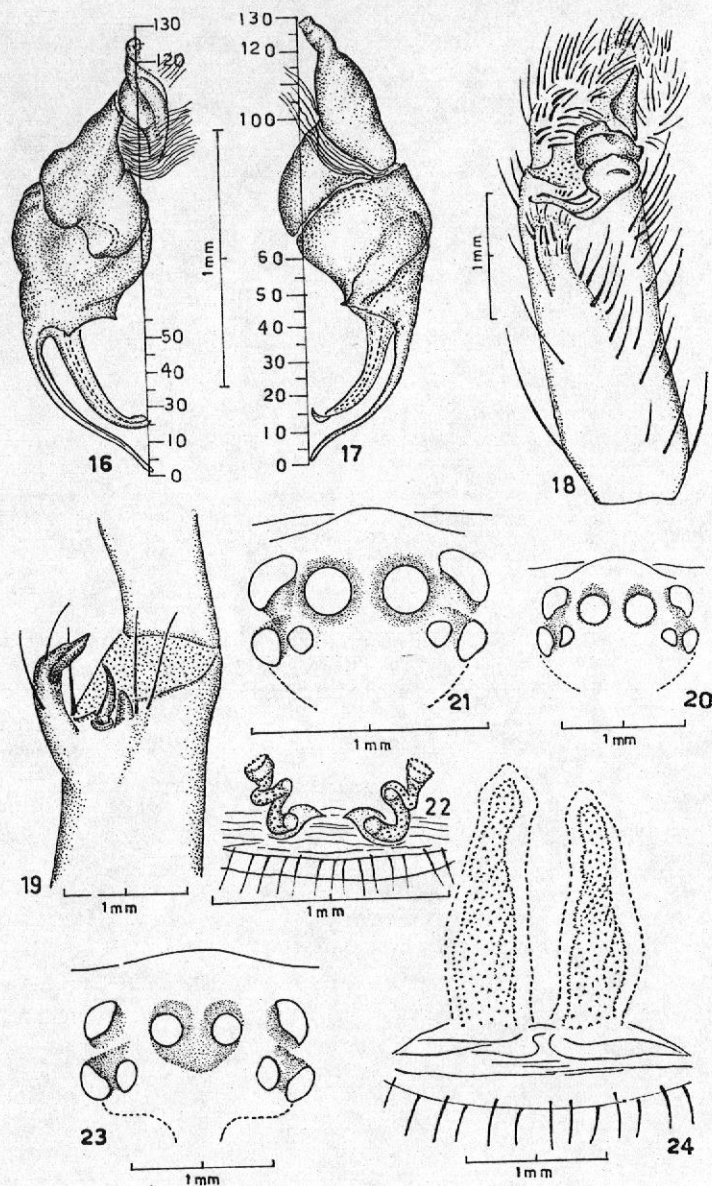
Fig. 21 — Grupo ocular de la ♀

Fig. 22 — Espermatecas

Chaetorhombus longipes Vellard, Schiapelli y Gerschman 1945. *Holotypus* ♀ 853 col. M.A.C.N.

Fig. 23 — Grupo ocular

Fig. 24 — Espermatecas



LAMINA IV

Homocomma uruguayensis (Mello-Leitão 1946). *Holotypus* ♂ col. M. Montevideo; *Allotypus* ♀ N° 6348 col. M.A.C.N.

Fig. 25 — Espolones de la tibia I

Fig. 26 — Grupo ocular

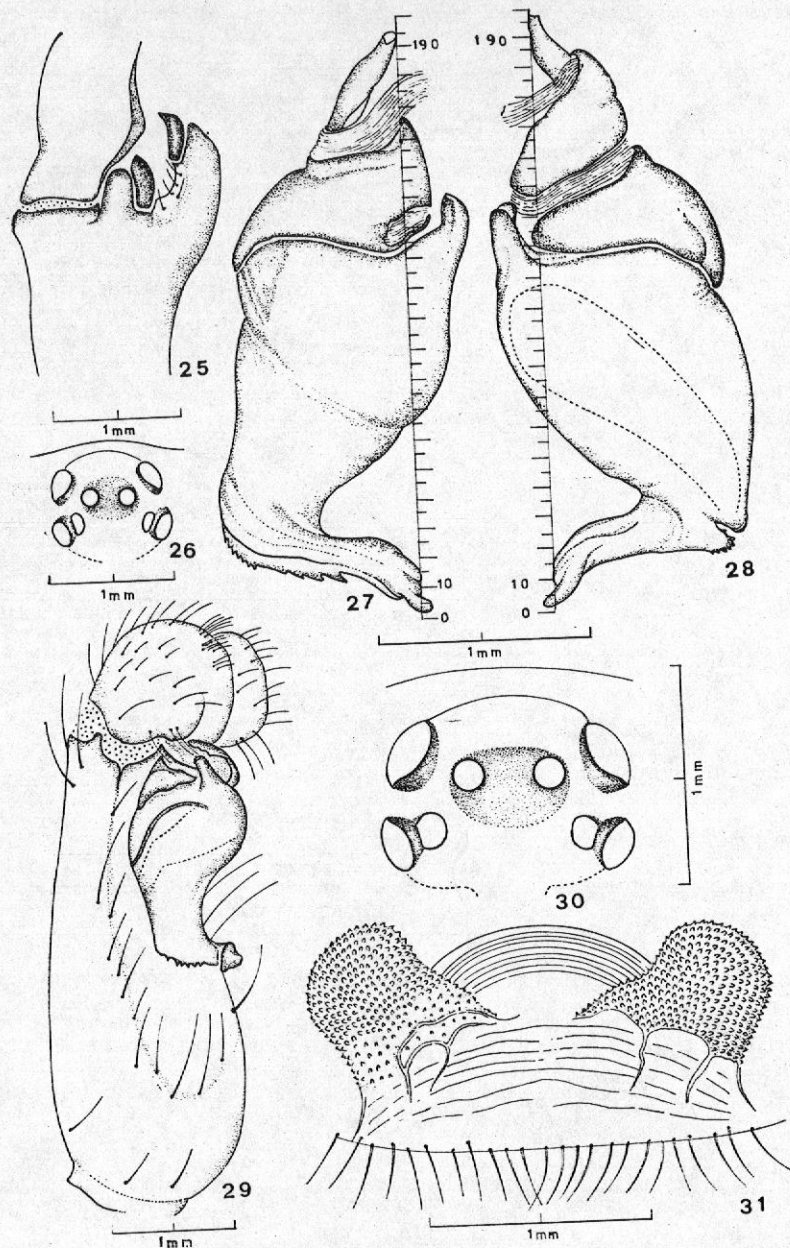
Fig. 27 — Bulbo, cara externa

Fig. 28 — Bulbo, cara interna

Fig. 29 — Palpo

Fig. 30 — Grupo ocular

Fig. 31 — Espermatecas



LAMINA V

Cenobiopelma argentinensis Mello-Leitão 1941. *Holotypus* ♀ N° 14608
M. La Plata; *Allotypus* ♂ N° 6428 M.A.C.N.

Fig. 32 — Palpo

Fig. 33 — Espolones de la tibia I

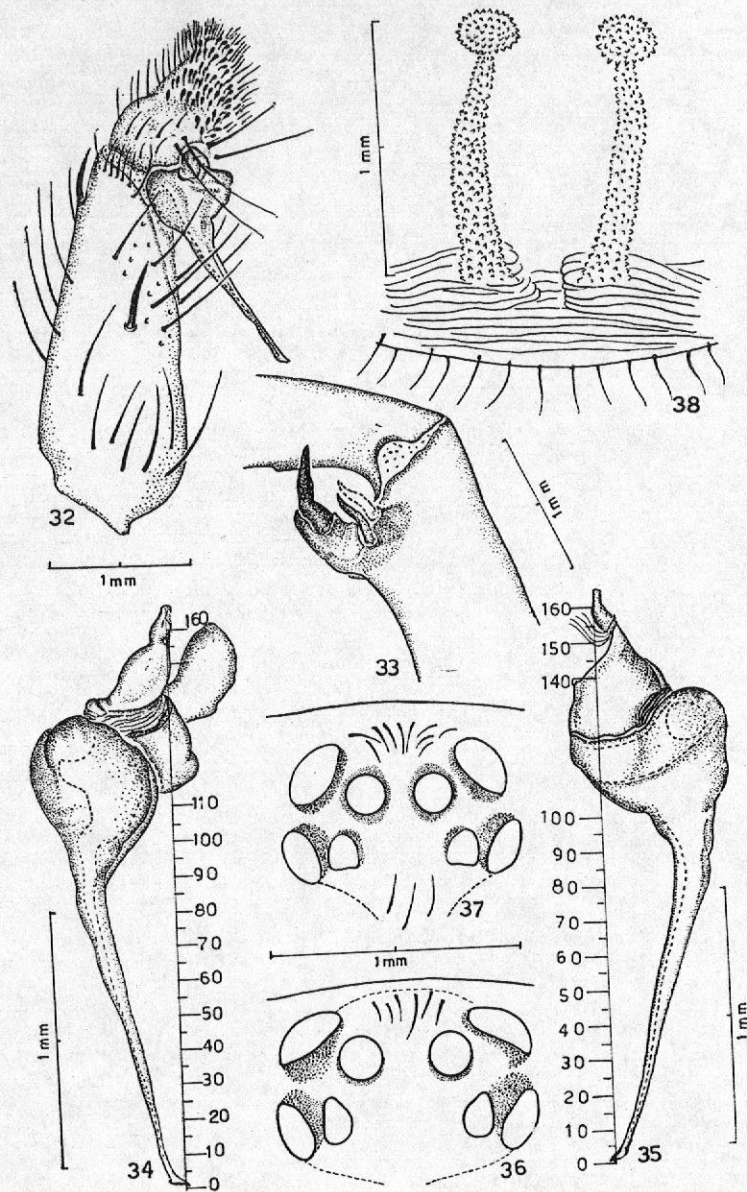
Fig. 34 — Bulbo, cara externa

Fig. 35 — Bulbo, cara interna

Fig. 36 — Grupo ocular ♂

Fig. 37 — Grupo ocular ♀

Fig. 38 — Espermatecas



LAMINA VI

Tmesiphantes nubilus Simon 1892 *Typus* ♂ y ♀ N° 1072 M. Paris

Fig. 39 — Bulbo, cara interna

Fig. 40 — Bulbo, cara externa

Fig. 41 — Palpo

Fig. 42 — Espolones de la tibia I

Fig. 43 — Grupo ocular del ♂

Fig. 44 — Espermatecas

Melloleitaina crassifemur Gerschman de Pikelin y Schiapelli 1959.

Holotypus ♂ N° 2285 col. M.A.C.N. *Allotypus* ♀ N° 2285 col. M.A.C.N.

Fig. 45 — Palpo

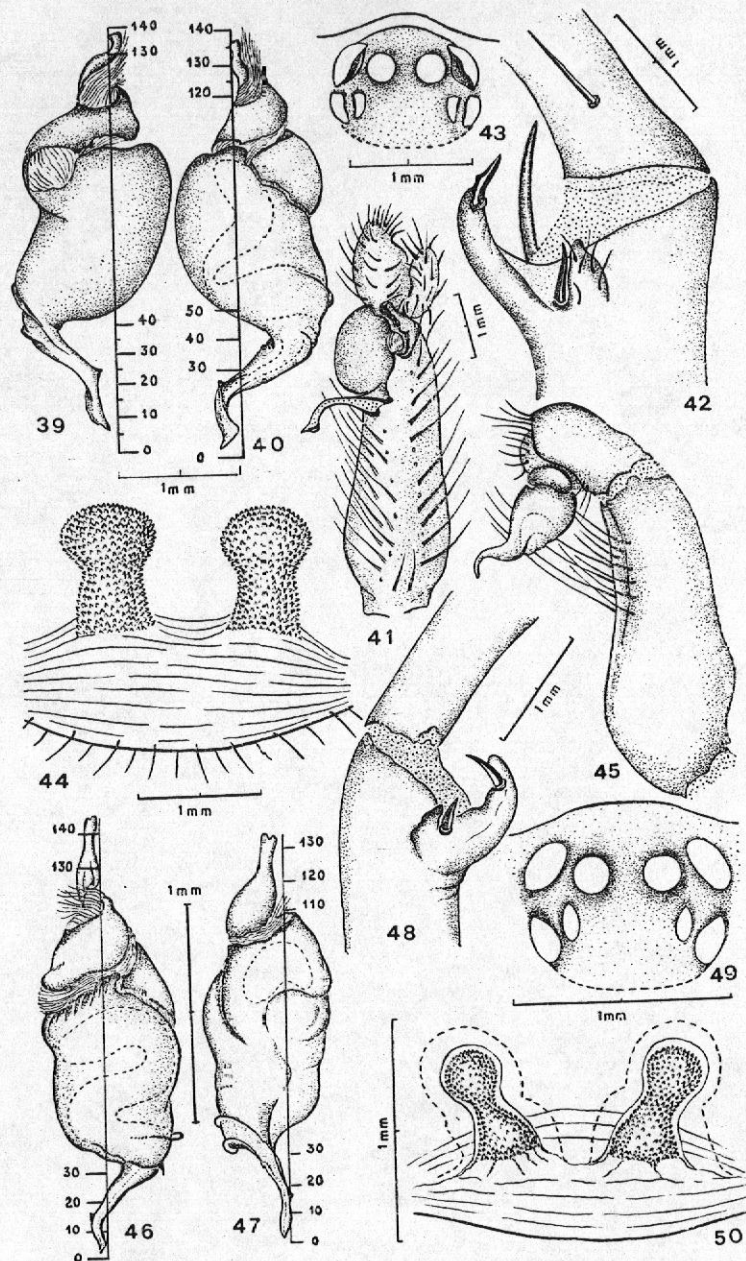
Fig. 46 — Bulbo, cara externa

Fig. 47 — Bulbo, cara interna

Fig. 48 — Espolones de la tibia I

Fig. 49 — Grupo ocular

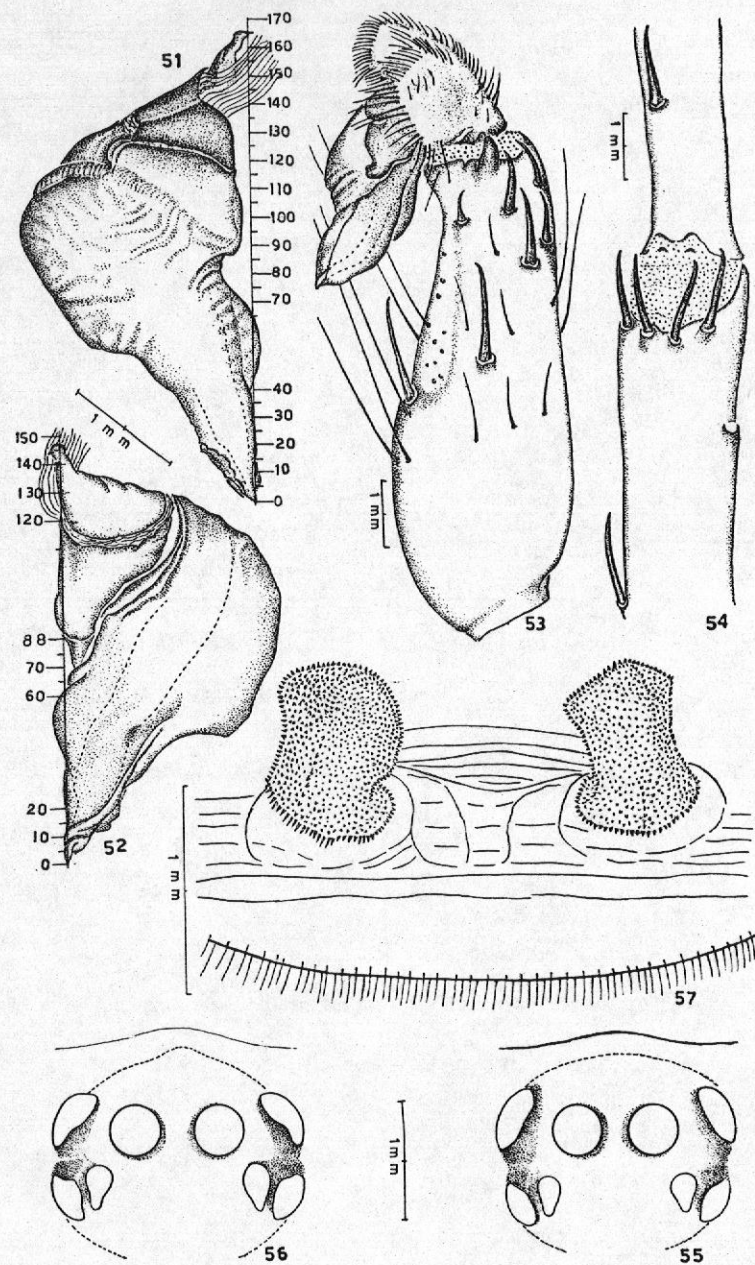
Fig. 50 — Espermatecas



LAMINA VII

Crypsidromus velox (Pocock 1903) *Typus* ♂ y ♀ N° 48-49 British M.
(N. H.)

- Fig. 51 — Bulbo, cara externa
Fig. 52 — Bulbo, cara interna
Fig. 53 — Palpo
Fig. 54 — Tibia I del ♂
Fig. 55 — Grupo ocular del ♂
Fig. 56 — Grupo ocular de la ♀
Fig. 57 — Espermatecas



LAMINA VIII

Hapalopinus cubanus Simon 1903 *Holotypus* ♂ N° 5054 M. Paris

Fig. 58 — Bulbo, cara externa

Fig. 59 — Bulbo, cara interna

Fig. 60 — Espolones tibia I

Fig. 61 — Palpo

Fig. 62 — Grupo ocular

Hapalotremus albipes Simon 1903 *Holotypus* ♂ N° 18006 M. Paris

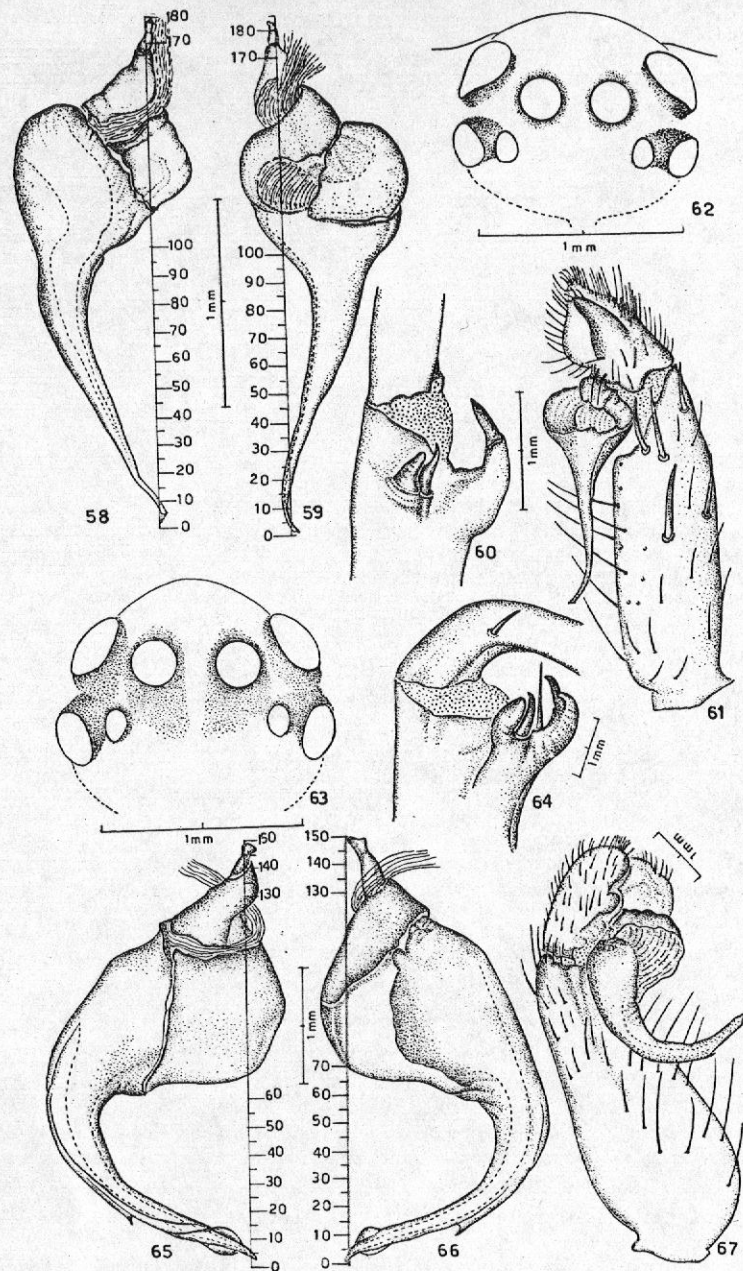
Fig. 63 — Grupo ocular

Fig. 64 — Espolones tibia I

Fig. 65 — Bulbo, cara interna

Fig. 66 — Bulbo, cara externa

Fig. 67 — Palpo



LAMINA IX

Cyclosternum schmardae Ausserer 1871 ♂ N° 9985 M. Paris

Fig. 68 — Bulbo, cara externa

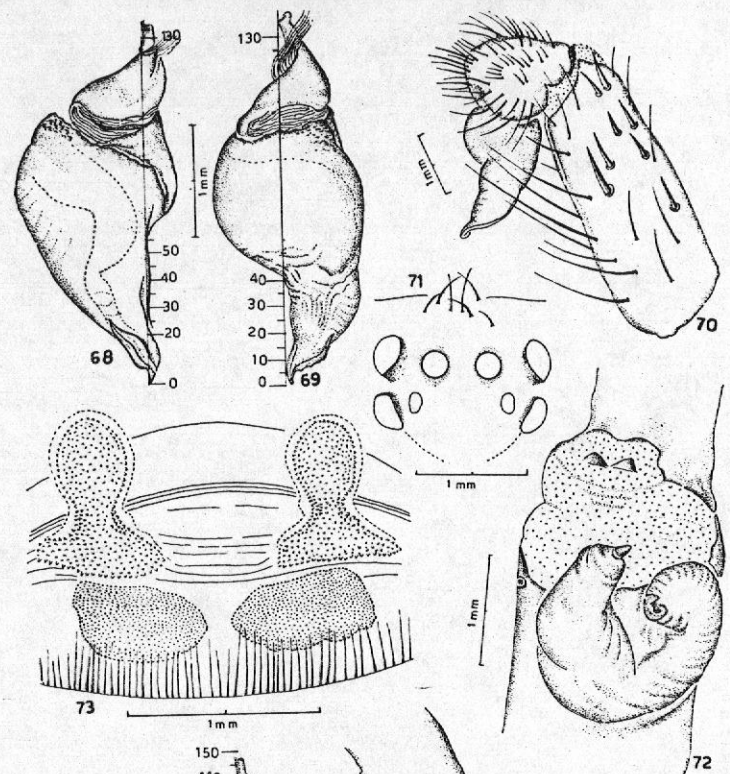
Fig. 69 — Bulbo, cara interna

Fig. 70 — Palpo

Fig. 71 -- Grupo ocular

Fig. 72 — Espolones tibia I

Fig. 73 — Espermatecas de un ejemplar del Museo de Estocolmo



Adranochelia rufohirta Simon 1889 *Typus* ♂ N° 9608 M. Paris

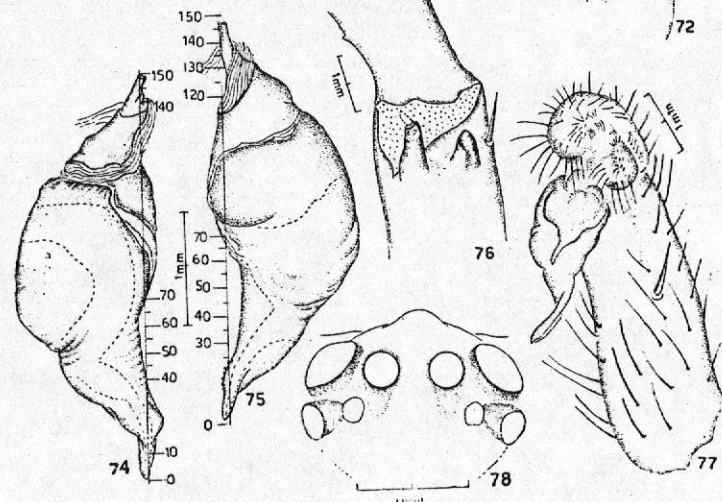
Fig. 74 — Bulbo, cara interna

Fig. 75 — Bulbo, cara externa

Fig. 76 — Espolones tibia I

Fig. 77 — Palpo

Fig. 78 — Grupo ocular



LAMINA X

Hapalopus formosus Ausserer 1875. det. Simon ♂ y ♀ N° 9884 M.
Paris

Fig. 79 — Bulbo, cara externa

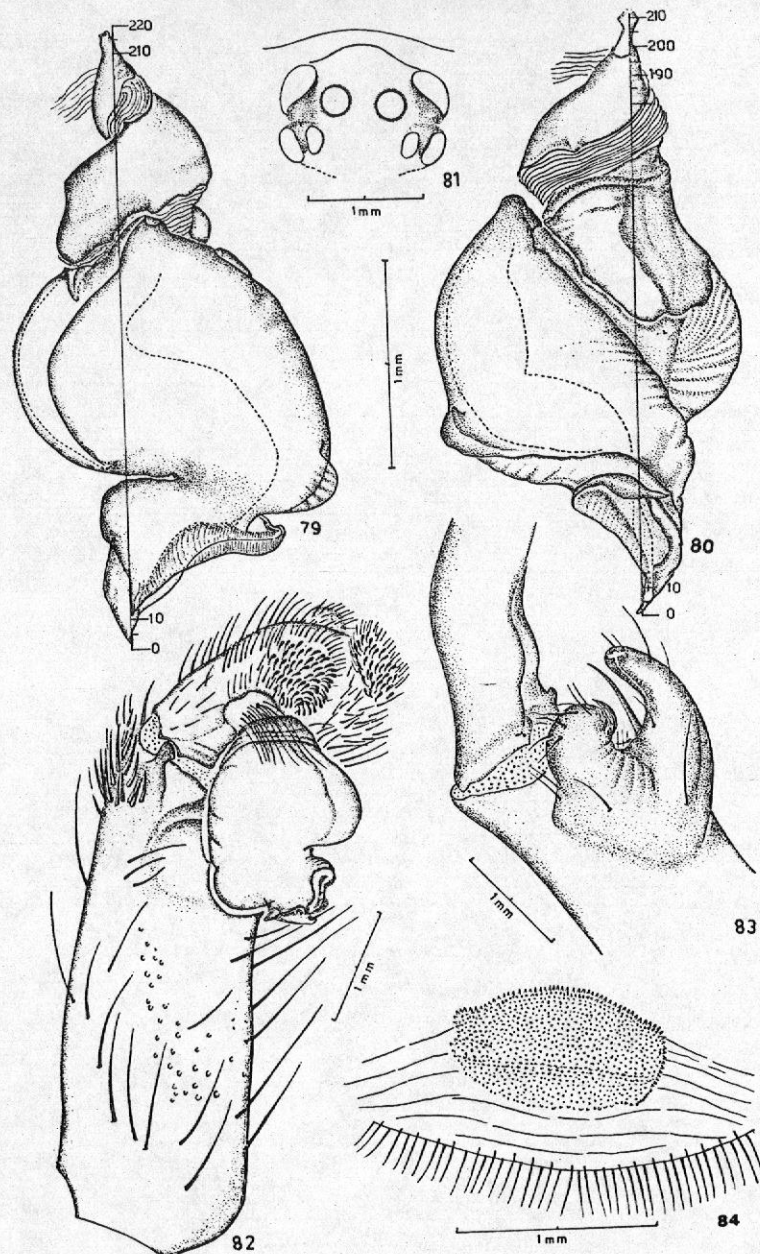
Fig. 80 — Bulbo, cara interna

Fig. 81 — Grupo ocular

Fig. 82 — Palpo

Fig. 83 — Espolones tibia I

Fig. 84 — Espermatecas



LAMINA XI

Ceropelma longisternalis Schiapelli y Gerschman de Pikelin. *Typus* ♂
y ♀ N° 755 M.A.C.N.

Fig. 85 — Bulbo, cara externa

Fig. 86 — Bulbo, cara interna

Fig. 87 — Espolones tibia I

Fig. 88 — Palpo del ♂

Fig. 89 — Grupo ocular del ♂

Fig. 90 — Grupo ocular de la ♀

Fig. 91 — Espermatecas

